

TECHNIKA CIEPLNA

Organ Stowarzyszenia Dozoru Kotłów w Warszawie.

Redaktor: Inż. techn. JAN KOMARNICKI.

Wydawca: Stowarzyszenie Dozoru Kotłów w Warszawie.

T R E Ś Ć: Ile marnujecie? — Prof. Dr. Inż. M. T. Huber. O wytrzymałości rury walcowej na wewnętrzne ciśnienie hydrostatyczne. — Prof. I. Feszczenko-Czopiński. Wytrzymałość i twardość szwa spawanego, przyczyny tej twardości i próby ujednoludnienia szwa spawania przy pomocy obróbki termicznej. — Z. K. Granice stosowalności pary jako źródła energii mechanicznej. — Przemiana węgla na ropę metodą dr. Bergiusa. — **KRONIKA TECHNICZNA:** B. G. O analizie spalin w Czopuchach. Wyniki dotychczasowe i przewidywane w siłowni Edgar Station w Bostonie. Moc silników i liczba robotników przemysłowych w Stanach Zjedn. Am. Półn. Produkcja energii elektrycznej w niektórych krajach. Polski Komitet Energetyczny. — **KOMUNIKATY STOWARZYSZENIA DOZORU KOTŁÓW w WARSZAWIE:** W sprawie certyfikatów kotłowych. Zmiana adresu biura rejonowego w Kielcach. — **KURSY DLA PALACZY KOTŁOWYCH:** Kursy w Lublinie.

SOMMAIRE: Depences inutiles. — Prof. Dr. Ing. M. T. Huber. La résistance d'un cylindre contre une pression hydrostatique intérieure. — Prof. I. Feszczenko-Czopiński. La résistance et la dureté des joints soudés, les causes de cette dureté et l'amélioration du matériel par le traitement thermique. — Z. K. Les limites de l'emploi de la vapeur d'eau comme une source d'énergie mécanique. — La transformation du charbon en pétrole par la méthode du Dr. Bergius. — **CHRONIQUE:** B. G. L'analyse des fumées. La centrale électrique Edgar Station à Boston. La puissance des moteurs installés et le nombre des ouvriers en Amérique du Nord. La production de l'électricité dans certains pays. Le Comité Energetique de Pologne. — Les **COMUNICATS** de la SOCIÉTÉ: En matière des certificats des chaudières à vapeur. La change d'adresse du bureau régional de Kielce. — Les **COURS** pour les **CHAUFFEURS** des **CHAUDIÈRES** à VAPEUR: Cours de Lublin.

ILE MARNUJECIE?

Na całej przestrzeni naszego kraju istnieje niewątpliwie znaczna ilość kotłowni, marnujących pod kotłami dziesiątki i setki ton węgla rocznie, kotłowni, które od dawien dawna powinnyby były być raz na zawsze unieruchomione. W całym kraju znajdziemy również szereg instalacji przemysłowych, marnujących parę i ciepło wszelkimi możliwymi i niemożliwymi sposobami.

Kierownictwo takich zakładów zdaje sobie napewno sprawę z popełnianego dzieła w dzień marnotrawstwa i rozumie, że społeczne urządzenia, dobrane odpowiednio do potrzeb danego zakładu, w bardzo szybkim okresie czasu zwróciłyby koszty, związane z zakupem i ustawieniem.

Kierownicy nie zawsze jednak umieją przekonać o tem swych praco- i mocodawców. Niektórzy z nich próbują, choć niestety bez powodzenia, zdobyć pewną wagę i poważanie dla swych propozycji. Inni nie odważają się nawet na ten krok, albo uznali go zgóry za bezcelowy.

Istnieją jednak kierownicy, głęboko przeświadczeni o potrzebie wprowadzenia szeregu ulepszeń, którzy umieli przedstawić te sprawy tak przekonywująco, że zmusili czynniki decydujące do zastanowienia, zdobywając jednocześnie niezbędne w ich oczach zaufanie.

Oczywiście zostali oni upoważnieni do wprowadzenia swych projektów w czyn.

W ostatniem ćwierćwieczu dokonany został istotnie niezwykle postęp w organizacji siłowni okręgowych i przemysłowych oraz w maszynowych i mechanicznych urządzeniach takich instalacji. Niewielu stosunkowo właścicieli zakładów przemysłowych zdaje sobie niestety sprawę z doniosłości tego postępu i rozumie, ile możnaby zaoszczędzić przez celowe zastosowanie nowoczesnych aparatów i urządzeń.

Ceny paliwa wciąż rosną. Zjawisko to ma wszystkie cechy zjawiska stałego. Każda zatem oszczędność, jaką na paliwie osiągnąć można, gra coraz poważniejszą rolę.

Warto pokonferować o tych sprawach z kierownikiem ruchu, a jeżeli określenie kosztów wytwarzania energii następcza mu będzie większe trudności, albo jeżeli nie będzie on sobie zdawał sprawy z tego do jakiego stopnia koszty te możnaby zmniejszyć, warto wezwać odpowiedniego specjalistę.

Bardzo być może, że i w tym wypadku zachodzi marnotrawstwo środków produkcji.

M. T. HUBER, prof.

O WYTRZYMAŁOŚCI RURY WALCOWEJ NA WEWNĘTRZNE CIŚNIENIE HYDROSTATYCZNE.

1. Znaczne podwyższenie roboczej prężności w nowoczesnych kotłach parowych zniewała techników do rewizji podstaw naukowych wszelkich obliczeń mających na oku ekonomję i bezpieczeństwo ruchu urządzeń, jakie wytwarzają energję mechaniczną z ciepła za pośrednictwem pary. To też mam zamiar w szeregu artykułów zająć się sprawą obliczeń wchodzących w zakres tego działu mechaniki stosowanej, który nazywają zwykle z francuska „wytrzymałością materiałów” chociaż nazwa ta nie ujmuje zakresu odpowiadającego działu nauki w sposób dogodny i jasny, jak to np. zachodzi w przypadku „aeromechaniki”, „hydromechaniki”, „termodynamiki” i t. p.¹⁾

Niniejszy artykuł będzie poświęcony obliczeniu wytrzymałości materiału w ścianie rury podanej ciśnieniu wewnętrznemu na podstawie nowej miary wyężenia. Przez „wyężenie” rozumię przytem jakąkolwiek wielkość mierzącą niebezpieczeństwo pęknięcia. Przy zwykłym podłużnym rozciąganiu lub ściskaniu prętów jest nią oczywiście bądź to wartość naprężenia, bądź też wydłużenia jednostkowego, ale przy złożonych stanach napięcia napotykamy na trudności w ustaleniu miary wyężenia materiału, niezupełnie jeszcze pokonane, jak poniżej zobaczymy.

2. Stan napięcia w materiale rury narażonej na ciśnienie *wewnętrzne* p (kg/cm²) określają, jak wiadomo, następujące wartości naprężeń głównych w punkcie odległym o x od osi rury (rys. 1).

1^o) Naprężenie *obwodowe* σ_t mające kierunek styczny do koła o promieniu x :

$$\sigma_t = \frac{a^2 p}{b^2 - a^2} \left(\frac{b^2}{x^2} + 1 \right) \dots \dots \dots (1)$$

2^o) Naprężenie *radjalne* σ_r o kierunku promienia²⁾:

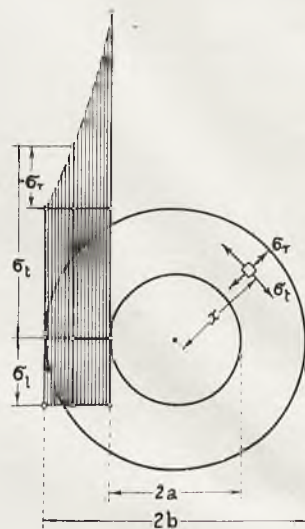
$$\sigma_r = - \frac{a^2 p}{b^2 - a^2} \left(\frac{b^2}{x^2} - 1 \right) \dots \dots \dots (2)$$

3^o) Naprężenia podłużne σ_l wywołane naciskiem hydrostatycznym na ściany zamykające rurę:

$$\sigma_l = \frac{a^2 p}{b^2 - a^2} \dots \dots \dots (3)$$

¹⁾ To bowiem co Francuzi nazywają „Résistance des matériaux”, a Niemcy „Die Elastizitäts und Festigkeitslehre”, jest właściwie „stosowaną” (lub „techniczną” mechaniką naturalnych ciał stałych w odróżnieniu od abstrakcyjnej mechaniki punktu *materiałnego*, układu *punktów materiałnych* i biorąc ściślej, również abstrakcyjnej mechaniki ciała „sztywnego” lub układów takich ciał. (Praktyczna doniosłość obu tych abstrakcyjnych działów mechaniki nie podlega oczywiście najmniejszej wątpliwości). Dlatego byłoby nader pożyteczne mieć dla rzeczonożego działu mechaniki stosowanej inną, dogodniejszą i odpo-

Ważność powyższych wzorów jest ograniczona 1^o) tem aby nigdzie w materiale nie przekroczone granicy stosowalności prawa Hooke’a i zasady superpozycji (uogólnionego prawa Hooke’a) 2^o) stosowalnością tylko do części rury



Rys. 1.

dość odległych od den lub ścian zamykających jej koniec, albowiem stan napięcia na końcach może być bardzo różny, zależnie od ukształtowania przejścia końców rury w dna lub ściany zamykające.

Otóż warunek pierwszy jest w przypadku, gdy materiałem rury jest metal o wyraźnej *granicy plastyczności* (dawniej „płynności”, „ciastowatości”, niem. *Fließgrenze*), praktycznie biorąc, równoważny z warunkiem, aby stan napięcia nie dochodził do *granicy plastyczności*. Ale doświadczenie wyznaczenie granicy plastyczności odbywa się z reguły tylko przy pomocy „próby rozrywania”, t. zn. przy stanie napięcia *jednoosiowym*, określonym wartością jednego naprężenia głównego σ , przyczem dwa pozostałe są równe zeru. Dajmy na to, że z takiego doświadczenia

wiedniejszą nazwę. Tutaj nasuwałaby się przedewszystkiem, zapewne nieraz już proponowana: „stereomechanika” (grecki wyraz „stereon” oznacza ciało stałe). Jednakże w „stereometrii” mamy od tysiącleci na myśli figury przestrzenne jako obrazy geometryczne ciał „sztywnych” i dlatego byłbym raczej skłonny do zaproponowania nowotworu łacińsko-greckiego: „solidomechanika”, ponieważ „solidum” (corpus) znaczy również ciało stałe, bez podkreślania abstrakcyjnej sztywności.

Solidomechanika dzieliłaby się jeszcze na „elastomechanikę” operującą tylko odkształceniami sprężystymi i „plastomechanikę” wkraczającą w mało dotąd uprawianą dziedzinę odkształceń trwałych (plastycznych).

²⁾ Wywód wzorów (1) i (2) znajdzie czytelnik np. w książce: Timoszenko-Huber „Wytrzymałość materiałów”, Lwów—Warszawa, 1921, str. 247 i nast.

okazuje się, iż granica plastyczności materiału zostaje osiągnięta, gdy $\sigma = K_0$ (dla stali zlewnej np. $K_0 = 3000 \text{ kg/cm}^2$ i więcej); wówczas zachodzi pytanie jakie wartości winny mieć wszystkie trzy naprężenia główne niebezpiecznego miejsca rury przy osiągnięciu w tym miejscu również granicy plastyczności.

To osiągnięcie cechuje, jak wiadomo, *silny wzrost odkształceń trwałych, odbywający się praktycznie przy niezmiennym stanie napięcia*.

Na powyższe pytanie usiłowano oddawna odpowiedzieć przy pomocy t. zw. „teorii wytrzymałości”. Są to właściwe *hipotezy*, oparte bądź na pewnych poglądach na budowę materji, bądź też na uogólnieniu faktów doświadczalnych przy pomocy intuicji naukowej. O ich użyteczności i stosowalności do materiałów technicznych decydują oczywiście tylko gruntowne badania doświadczalne przy możliwie różnorodnych stanach napięcia. Tego rodzaju badania, wykonano w minionem 50-leciu w wielu pracowniach, zwłaszcza na metalach. Wszystkie doświadczenia wykazały zgodnie nie tylko błędność dawnego zapytrwania, pokutującego jeszcze ciągle w umysłach niektórych inżynierów, jakoby wartość *największego naprężenia* decydowała o „wytężeniu” materiału także w ogólnym stanie napięcia, lecz także błędność *hipotez największego wydłużenia* (Poncelet, de Saint-Venant) rozpowszechnionych na kontynencie Europy po dziś dzień w podręcznikach technicznych, mało troszczących się niestety o postęp naukowy, jeżeli tenże domaga się porzucenia starych wzorów przedrukowywanych bez zmiany prawie od stulecia.

Wymienione badania doświadczalne zdawały się zrazu popierać hipotezę największego odkształcenia postaciowego (Coulomb), czyli równoważną jej hipotezę *największego naprężenia stycznego*, albo *największej różnicy naprężeń głównych* (Guest, Mohr); atoli w miarę zwiększania dokładności pomiarów i staranności w doborze próbek, okazało się że dla kowalnych metali daje jeszcze lepszą zgodność z doświadczeniami hipoteza *największej energii czystego odkształcenia postaciowego*, wypowiedziana, jak się zdaje poraz pierwszy w pracy podpisanego ogłoszonej tylko po polsku w r. 1904¹⁾.

Te fakty naukowe usprawiedliwiają dostatecznie potrzebę rewizji odpowiednich wzorów wytrzymałościowych, jakie znajdujemy w podręcznikach, oraz ustawienia nowych wzorów racjonalniejszych.

Jak już wspomnieliśmy, podręczniki stoją wciąż jeszcze na gruncie niewątpliwie błędnej hipotezy największego wydłużenia i podają następujące obliczenie rury ze względu na wytrzymałość.

Największe wydłużenie jednostkowe zachodzi na wewnętrznej ścianie rury i ma według teorii sprężystości wartość

$$\frac{1}{E} \left[\sigma_t - \frac{1}{m} (\sigma_l + \sigma_r) \right].$$

Wartość ta nie powinna osiągać wydłużenia przy naprężeniu K_0 granicy plastyczności (prostego rozciągania lub ściskania), czyli

$$\frac{1}{E} \left[\sigma_t - \frac{1}{m} (\sigma_l + \sigma_r) \right] < \frac{K_0}{E} \dots \dots (4)$$

Stąd równość

$$\sigma_t - \frac{1}{m} (\sigma_l + \sigma_r) = k \dots \dots (4a)$$

jeżeli k oznacza wartość naprężenia mniejszą od K_0 , wzgl. wartość bezpieczną. Podstawiając w powyższe równanie wyrażenia dla naprężeń głównych i rozwiązawszy je względem promienia zewnętrznego b rury, jeżeli wewnętrzny a uważamy za dany, otrzymujemy:

$$b = a \sqrt{\frac{k + (1 - \frac{2}{m})p}{k - (1 + \frac{1}{m})p}} \dots \dots (5)$$

Przy wartości liczby Poissona $m = 10/3$ (kownale żelazo lub stal) mamy

$$b = a \sqrt{\frac{k + 0,4p}{k - 1,3p}} \dots \dots (5a)$$

Ten wzór zalecają podręczniki do obliczenia promienia zewnętrznego rury przy danym promieniu wewnętrznym z warunku, ażeby zachodziło n -krotne bezpieczeństwo przeciw osiągnięciu granicy wytrzymałości K (przyczem $K = nk$), albo też n' -krotne bezpieczeństwo przeciw osiągnięciu granicy plastyczności K_0 (przyczem $K_0 = n'k$) jeżeli największe ciśnienie wewnętrzne ma wartość p .

3. Tutaj nasuwa się zaraz pytanie dla czego praktyka, posługująca się od lat kilkudziesięciu powyższym wzorem, nie znalazła powodu do wątpienia w jego prawdziwość, nawet wtedy gdy już zauważono w innych przypadkach niezgodność z doświadczeniem hipotezy najw. wydłużenia.

Odpowiedź podamy poniżej, wyprowadzwszy najpierw wzór nowy, oparty na hipotezie najw. energii odkształcenia postaciowego, jako odpowiadającej najlepiej faktom doświadczalnym w przypadku materiałów takich, jak żelazo kownale lub stal.

W najogólniejszym przypadku trójwymiarowego stanu napięcia określonego naprężeniami normalnymi $\sigma_x, \sigma_y, \sigma_z$ i stycznymi $\tau_{xy}, \tau_{yz}, \tau_{zx}$, przedstawia energję czystego odkształcenia wzór:

$$U = \frac{m+1}{6mE} \left[(\sigma_x - \sigma_y)^2 + (\sigma_y - \sigma_z)^2 + (\sigma_z - \sigma_x)^2 + 6(\tau_{xy}^2 + \tau_{yz}^2 + \tau_{zx}^2) \right]$$

¹⁾ „Właściwa praca odkształcenia, jako miara wytężenia materiału” Czasop. Techn. Lwów. Ob. także T. Schleichner „Der Spannungszustand an der Fließgrenze” Z. f. ang. Math. u. Mech. T. 6. 1926, zes. 3 M. Ros & A. Eichinger „Versuche zur Klärung der Frage der Bruchgefahr”, Zürich 1926 (wyd. Labor. Wytr. Politechniki Szwajcarskiej).

Przy prostym rozciąganiu lub ściskaniu naprężeniem k sprowadza się to wyrażenie do formy:

$$\Delta f = \frac{m+1}{3mE} k^2$$

Stąd, w myśl naszej hipotezy, warunek wytrzymałościowy:

$$(\sigma_x - \sigma_y)^2 + (\sigma_y - \sigma_z)^2 + (\sigma_z - \sigma_x)^2 + 6(\tau_{xy}^2 + \tau_{yz}^2 + \tau_{zx}^2) = 2k^2 \dots (6)$$

przyczem $k \leq K_0$.

W zagadnieniu rury odpadają naprężenia styczne, ponieważ normalne, określone równaniami (1, 2, 3) są naprężeniami głównymi; a zatem warunek wytrzymałościowy:

$$(\sigma_t - \sigma_r)^2 + (\sigma_r - \sigma_l)^2 + (\sigma_l - \sigma_t)^2 = 2k^2 \dots (7)$$

Po wstawieniu wartości i rozwiązaniu względem b znajdujemy z łatwością:

$$b = a \sqrt{\frac{k}{k - p \sqrt{3}}} = a \sqrt{\frac{k}{k - 1,732 p}} \dots (8)$$

Tym przeto wzorem winniśmy się posługiwać przy obliczeniu promienia zewnętrznego b rury, mającej przy danym promieniu wewnętrznym a wytrzymywać najw. ciśnienie wewnętrzne p , jeżeli uwzględnimy hipotezę odpowiadającą dzisiejszemu stanowi badań laboratoryjnych.

Dla porównania podamy jeszcze wzór oparty na hipotezie największej różnicy naprężeń głównych, która miała zwolenników w Anglii pod wpływem prac I. Guest'a. W naszym przypadku otrzymalibyśmy oczywiście warunek wytrzymałościowy w postaci:

$$\sigma_t - \sigma_r = \frac{b^2 + a^2}{b^2 - a^2} p + p = k,$$

stąd

$$b = a \sqrt{\frac{k}{k - 2p}} \dots (9)$$

4. Uderzającą wspólną cechą wszystkich trzech wzorów, (5), (8) i (9) jest to, że według nich niepodobna spełnić warunku wytrzymałościowego, jeżeli ciśnienie p osiąga lub przekracza pewną wartość graniczną p_{gr} zależną od wytrzymałości materiału rury. Wtedy bowiem wypada $b/a = \infty$ lub urojone. Było to oczywiście do przewidzenia, jednakże wartość p_{gr} wypada przy każdej z hipotez inna, a mianowicie:

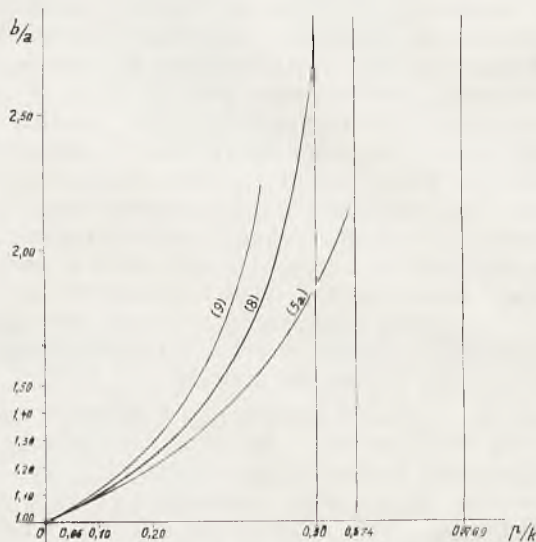
a) według wzoru (5a) byłoby $p_{gr} = \frac{k}{1,3} = 0,769 k$

b) „ „ (8) wypada $p_{gr} = \frac{k}{\sqrt{3}} = 0,574 k$

c) „ „ (9) byłoby $p_{gr} = \frac{2}{k} = 0,5 k$

Różnice wartości p_{gr} są, jak widzimy, bardzo poważne i mogłyby na pozór posłużyć do wyboru hipotezy dla naszego przypadku najod-

powiedniejszej, gdyby nie kapitalna trudność wywarcia tak wielkich ciśnień oraz doświadczalnego stwierdzenia, kiedy pojawiają się pierwsze odkształcenia trwałe w warstwie wewnętrznej. Grubość bowiem tej warstwy jest po pierwszym przekroczeniu granicy plastyczności zrazu bardzo mała i dopiero potem rośnie powoli i w miarę dalszego wzrostu ciśnienia wewnętrznego. Natomiast w zwykłych warunkach praktyki, kiedy ciśnienia wewnętrzne wynoszą kilka do kilkudziesięciu atmosfer, co odpowiada zaledwie kilku tysiącnym do kilkunastu setnych części wartości k , prowadzą wszystkie trzy podane wzory do wartości różniących się niewiele, co znowu było łatwym do przewidzenia, jeżeli się zważy, że wówczas naprężenia σ_r i σ_l grają podrzędną rolę wobec przeważającej wartości σ_t . Oto mamy odpowiedź na postawione powyżej pytanie — odpowiedź udokumentowaną nadto tablicą liczbową i sporządzonym podług niej wykresem (rys. 2).



Rys. 2.

Ciśnienie wewn. napręż. dopuszcz. p/k	Stosunek promienia zewnętrznego b do a według wzorów:		
	(5a) (hip. najw. wydłużenia)	(8) (hip. energii odksz. post.)	(9) (hip. najw. różn. napr. gł.)
0,005	1,0045	1,0045*	1,0050
0,010	1,0086	1,0088*	1,0101
0,015	1,0129	1,0132*	1,0153
0,020	1,0173	1,0178*	1,0206
0,025	1,0217	1,0224*	1,0260
0,030	1,0262	1,0270*	1,0314
0,040	1,0352	1,0366*	1,0426
0,050	1,0445	1,0463*	1,0541
0,060	1,0539	1,0564*	1,0660
0,070	1,0634	1,0668*	1,0783
0,080	1,0732	1,0774*	1,0911
0,090	1,0832	1,0884*	1,1043
0,100	1,0933	1,1008*	1,1180
0,200	1,2081	1,2370*	1,2910
0,300	1,3550	1,4428*	1,5811
0,400	1,5546	1,8042*	2,2361
0,500	1,8516	2,7318*	∞
0,574	2,2011	∞	∞
0,769	∞	∞	∞

Liczyby powyższej tablicy ułatwiają interesującą porównanie stosowanego w praktyce od dawna przybliżonego obliczenia potrzebnej grubości ścianki δ walczaka w kotle parowym według wzoru:

$$\delta = \frac{ap}{k} \dots\dots\dots (10)$$

wyprowadzonego przy uwzględnieniu samych tylko naprężeń obwodowych rozłożonych w przybliżeniu równomiernie na grubości ścianki (Kwestię osłabienia ścianki przez nitowanie pozostawiamy na razie na uboczu). Jak łatwo zauważyć, wystarczy odjąć 1 od liczb podających wartości stosunku b/a przy danym p/k , ażeby otrzymać szukaną dokładną wartość δ/a , (albowiem $\frac{\delta}{a} =$

$$= \frac{b-a}{a} = \frac{b}{a} - 1).$$

Wartość ta okazuje się aż do $p/k \leq 0,09$ *mniejszą od wartości przybliżonej* określonej wzorem (10) (jakkolwiek zmniejszenie nie przekracza nigdzie 12%). Dopiero dla $p/k > 0,09$ staje się dokładna wartość (obliczona wzorem 8) *stałe większą od wartości przybliżonej* z (10) a różnica rośnie szybko ze wzrostem p/k .

Przyjawszy np. jako dopuszczalną wartość naprężenia $k=500 \text{ kg/cm}^2$ widzimy, że do wysokości ciśnienia $p=45 \text{ at}$ daje przybliżony rachunek zupełną rękojmię, że stopień pewności nie doznał uszczerbku przez niedokładność obliczenia. Dokładne zaś obliczenie byłoby (przy $k=500 \text{ kg/cm}^2$) dopiero koniecznym dla ciśnień powyżej 50 at. (Mówiąc o ciśnieniu wewnętrznym mamy zawsze na myśli ciśnienie „względne“

t. j. nadwyżkę ciśnienia wewnętrznego ponad zewnętrzne ciśnienie atmosferyczne).

Na zakończenie pozostaje mi uzasadnić dla czego przytoczyłem powyżej jako przybliżony praktyczny wzór do obliczenia grubości ściany równanie (10), zamiast zaleczonego i rozpowszechnionego

$$(w \text{ mm.}) \delta = \frac{S p n}{200 K \varphi} + 1 \dots\dots\dots (11)$$

We wzorze oznacza tym, jak wiadomo:

S średnicę wewnętrzną w mm

p ciśnienie wewnętrzne w at

K doraźną wytrzymałość materiału w kg/mm^2

n stopień pewności

φ współczynnik ≤ 1 zależny od konstrukcji ewentualnych szwów.

Dodatek 1 mm po prawej stronie wzoru „na rdzewienie“ i t. p. jest zapewne zabytkiem z czasów, kiedy stosowano tylko bardzo małe ciśnienia wskutek czego obliczone wzorem teoretycznym (10) grubości wypadały niekiedy za małe do praktycznego wykonania. Dziś staje się ten dodatek zupełnie zbędnym anachronizmem, a nadto zamąca obraz rzeczywistego stopnia pewności, określony jasno i niedwuznacznie wartością

stosunku $n = \frac{K}{k}$ tylko przy zastosowaniu wzoru

teoretycznego.

Byłby już czas porzucić raz na zawsze tę bezpożyteczną komplikację i stosować wyłącznie wzór w postaci (10), czyli przy oznaczeniach wzoru (11):

$$\delta = \frac{S p n}{200 K \varphi} \dots\dots\dots (12)$$

I. FESZCZENKO-CZOPIWSKI, prof. Akad. Gór. w Krakowie.

WYTRZYMAŁOŚĆ I TWARDOŚĆ SZWA SPAWANEGO, PRZYCZYNY TEJ TWARDOŚCI I PRÓBY UJEDNORODNIENIA SZWA SPAWANIA PRZY POMOCY OBRÓBKII TERMICZNEJ.

por. *Technika Ciepłna*, r. 1927, str. 4.

§ 45. W tablicach 17*), 18*) i 19) umieszczono trzy serie badań: 1) badania na rozerwanie ze szwem spawania w poprzek próbki (tabl. 17), 2) badania na rozerwanie ze szwem spawania wzdłuż próbki (tabl. 18), 3) badania kruchości szwa spawania (tabl. 19). Oprócz tego dzięki uprzejmości p. inż. A. Szumowskiego (Chrzanów), któremu tą drogą składamy serdeczne podziękowanie miałem możność wyjaśnić rolę bardzo ważnego czynnika, a mianowicie wpływu kucia na wytrzymałość szwa spawania acetylenem. Dla porównania we wszystkich wypadkach przytoczono odpowiednie właściwości mechaniczne materiału spawanego.

§ 46. Porównyując wyniki badań, ułożone w tablicach 17 i 19 z odpowiedniami wynikami

przy spawaniu łukiem elektrycznym (tablice 9 i 11) musimy stwierdzić, że acetylenowy szew spawania w stanie surowym (nieprzekutym) jest mniej ciągliwy i mniej wytrzymały, niż szew spawania otrzymany przy pomocy łuku elektrycznego. Podobnie przy spawaniu acetylenowym i nieprzekutych próbkach częściej zdarza się zerwanie przez szew spawania. Stopień jednak kruchości jest w obu wypadkach jednakowy i przy zwykłych temperaturach badania odporność na uderzenie szwa spawania otrzymanego czy to w płomieniu acetyleny czy też w łuku elektrycznym wynosi około 2 kgm/cm^2 w stanie niewyżarzonym i wyżarzonym i około $5-6 \text{ kgm/cm}^2$ w stanie ulepszonym.

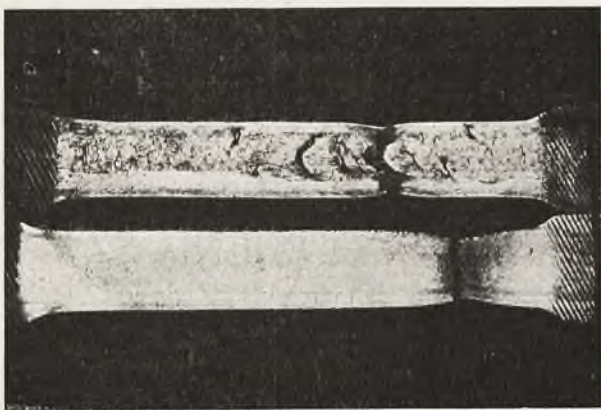
Badania prób na rozerwanie z podłużnym szwem spawania wykazały, że ulepszanie termicz-

*) por. *Technika Ciepłna*, str. 3.

ne podnosi w znacznym stopniu ciągliwość nawet w nieprzekutych próbkach i to w sposób bardziej kategoriyczny, niż w próbkach spawanych łukiem elektrycznym, posiadających również podłużny szew spawania (porównaj tablicę 10).

§ 47. Najlepsze wyniki otrzymujemy jednak przy szwie przekutym na gorąco. Ciągliwość, a zwłaszcza odporność na uderzenie we wszystkich wypadkach badania prób ze szwem spawania przekutym znacznie się podniosła. Ciągliwość w próbkach ulepszonych stała się równą 80—82% ciągliwości materiału spawanego. W naszych badaniach materiału blach kotłowych o zawartości węgla około 0,1% odporność na uderzenie, (stopień kruchości), wynosząca dla materiału spawanego (materiału blach kotłowych) w zwyczajnych temperaturach badania 12—13 kgm/cm^2 , a dla nieprzekutego szwa spawania zaledwie 2 kgm/cm^2 w niewyżarzonym i wyżarzonym stanie, jak to już wyżej wspominaliśmy, zaś około 5—6 kgm/cm^2 w stanie ulepszonym, wzrosła w próbkach przekutych do 5,2 kgm/cm^2 w stanie surowym i do 8—9 kgm/cm^2 w stanie ulepszonym, co wynosi około 70% odporności na uderzenie blachy kotłowej. Stąd dochodzimy do wniosku, którego w istocie nie można uważać za nieoczekiwany, który jednak szczególnie należy podkreślić, że *szew spawania należałoby przed ulepszeniem termicznym przekuć na gorąco*.

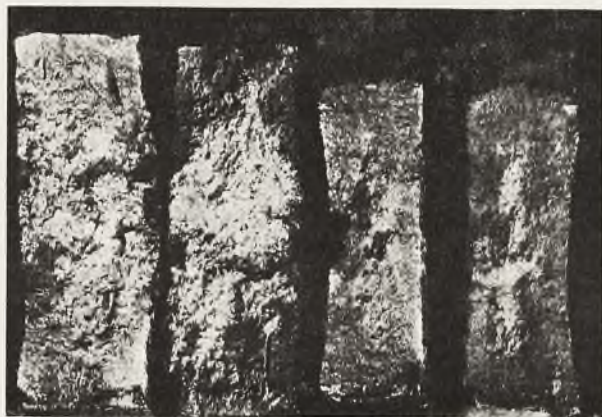
Rys. 66, pow. $\frac{2}{3}$, przedstawia dwie próbki na rozerwanie z acetylenowym szwem spawania wzdłuż próbki. U góry znajduje się próbka



Rys. 66.

ze szwem spawania w stanie nieprzekutym (surowym) i termicznie nieobrobionym; cała powierzchnia próbki (szwa spawania) popękała w wielu miejscach. U dołu tej odbitki znajduje się również próbka z acetylenowym szwem spawania wzdłuż próbki, lecz poprzednio przekutym i następnie termicznie ulepszonym, jest ona zupełnie wolną od szczelin. Rys. 67 (pow. 2) przedstawia złomy tych dwóch próbek. Podczas gdy gruboziarnisty szew spawania wydziela się zupełnie wyraźnie w spawanej nieprzekutej (surowej) i termicznie nieobrobionej próbce, to podobny, podłużny szew spawania na drobnoziarnistej przeku-

tej a następnie termicznie ulepszonej próbce prawie, że nie odróżnia się od ogólnego tła.



Rys. 67.

Mikrofotografie 68, 69 (pow. 65), przedstawiają szew spawania nieobrobiony termicznie



Rys. 68.

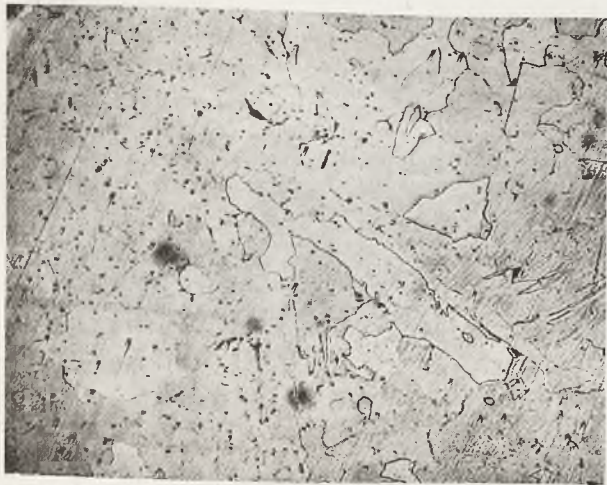


Rys. 69.

ani mechanicznie. Budowa jego jest podobna do tej, jaką widzieliśmy niejednokrotnie na szwie

spawania łukiem elektrycznym (porównaj mikrofotografię 43). Czarne plamy są to luki nieco rozszerzone pod działaniem sił rozciągających, próbki te były poprzednio zerwane na prasie Amslera (por. ich wygląd makrofotograficzny na makrofotografii 66).

Mikrofotografia 70 (pow. 130), przedstawia miejsce szwa spawania, poddanego poprzedniemu



Rys. 70.

kuciu, odwęglone podczas tego kucia i wypełnione drobnymi kropelkami FeO . Mikrofotografia 71 (pow. 130), przedstawia granicę w szwie spa-



Rys. 71.

wania próbki przekutej, znajdującą się pomiędzy dwoma strefami: normalną i odwęgloną (nacementowaną tlenem). Mikrofotografia 72 (pow. 65), przedstawia widoczną granicę spawania pomiędzy materiałem spawanej blachy o wyraźnie warstwowej budowie i przejście jej do budowy szwa spawania. Szew spawania wykazuje zwiększoną zawartość węgla, w wypadku tym zgodnie z reakcją IV (patrz § 42) miał miejsce proces cementacji.

Do mikrobudowy szwa spawania acetylenem należy odnieść wszystko to, o czym mówiliśmy

w § 32, poświęconym opisowi budowy szwa spawania przy pomocy łuku elektrycznego. Na granicach istotnego szwa spawania prawie na



Rys. 72.

każdej trawionce, przygotowanej ze szwa spawania można znaleźć немало braków spawania, których charakter i zewnętrzny wygląd jest podobny do przedstawionych na mikro fotografiach 45a, 45b, 45c, 53, 54. Widoczna granica spawania w próbkach przekutych jest zawsze znacznie przesunięta w głąb materiału w porównaniu z granicą w próbkach nieobrobionych. W ogólności szew przy acetylenowym sposobie spawania jest zawsze w znacznym stopniu nasycony (nacementowany) tlenem. Na dowód tego twierdzenia przytaczamy mikro fotografię 73 (pow. 65), przedstawiającą jeden odcinek szwa acetylenowego spawania. Wszystkie



Rys. 73.

ziarna ferrytu wypełnione są kropelkami FeO , a środek mikro fotografii zajmuje dosyć gruba o charakterystycznej wzorzystej budowie strefa eutektyki $Fe-FeO$.

Ciekawem również jest i to, że we wszystkich wypadkach acetylenowego spawania nie natknaliśmy się w budowie szwa z azotkami (po-

równaj budowę na mikrofotografii 55). Jednakże stopień porowatości nieprzekutego szwa spawania acetylenem jest może nieco większy niż przy

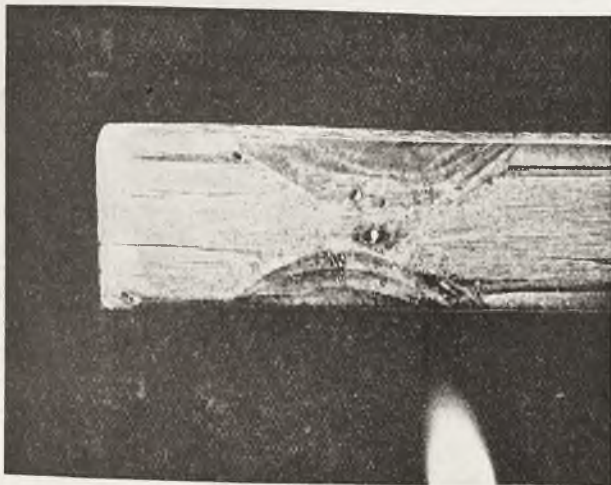
elektrycznym (łukowym) sposobie spawania, a to skutkiem niższych temperatur, w których faktycznie odbywa się spawanie acetylenowe.

TABLICA 19.

Zmiany kruchości szwa spawania acetylenem w zależności od temperatury badania i poprzedniej obróbki termicznej kgm/cm².

	t-ra badania ° C	M a t e r j a ł w s t a n i e					
		termicznie nie odrobionym (S)	wyżarzonym (W)	ulepszonym (UP)	ulepszonym (UH)	ulepszonym (UK)	
Materiał blachy spawanej (S)	— 15	11,1] 10,5 n. z.	9,2] 8,9 z.	9,9] 9,6 n. z.	8,3] 8,5 z.	10,4] 11,0 n. z.	
		9,9] "	8,6] "	9,4] z.	9,3] "	11,7] "	
	0	10,0] 10,6 "	11,0] 10,8 n. z.	9,6] 10,1 "	8,5] 8,7 "	12,2] 11,3 "	
		11,3] "	10,6] "	10,7] n. z.	8,9] "	10,5] "	
	+ 18	11,8] 11,3 "	9,4] 9,6 z.	12,8] 12,3 "	10,7] 10,9 n. z.	13,2] 13,6 "	
		10,9] "	9,8] "	11,9] "	11,1] "	14,1] "	
	+ 100	13,2] 13,4 "	11,9] 11,6 n. z.	13,1] 13,2 "	11,1] 12,0 "	13,1] 14,7 "	
		13,7] "	11,2] "	13,3] "	12,8] "	16,3] "	
	+ 150	13,9] 13,2 "	12,2] 11,8 "	13,8] 14,3 "	13,9] 14,6 "	16,7] 15,0 "	
		12,5] "	11,4] "	14,9] "	15,3] "	13,4] "	
	+ 200	13,2] 13,0 "	11,7] 11,8 "	13,4] 13,2 "	13,2] 12,3 "	14,0] 13,0 "	
		12,8] "	12,0] "	12,9] "	11,4] "	13,0] "	
Szew spawania w stanie surowym (AS)	— 15	1,5] 1,2 z. bsp	1,9] 1,6 z. b.sp.	1,4] 3,2 z. b. sp	1,2] 1,1 z bsp.	1,1] 1,1 z. bsp.	
		0,9] "	1,3] "	5,1] z.	1,0] "	1,0] "	
	0	1,2] 1,2 "	1,6] 1,6 "	1,3] 1,3 z. b. sp	5,5] 3,2 z	2,7] 3,8 "	
		1,1] "	1,5] "	1,2] "	0,9] z bsp.	4,8] z	
	+ 18	1,5] 1,2 "	2,2] 1,9 "	4,8] 5,5 z.	7,1] 5,1 z	6,1] 6,5 "	
		0,9] "	1,5] "	6,2] "	3,2] "	6,8] "	
	+ 100	7,2] 6,1 z.	5,1] 4,5 z.	7,8] 6,8 "	6,8] 6,2 "	12,0] 10,4 n. z	
		5,0] z. bsp	3,9] z. b. sp	5,8] "	5,5] "	8,8] z	
	+ 150	11,4] 8,1 n. z	5,1] 4,8 z.	8,0] 6,4 "	5,9] 5,9 "	7,9] 8,6 "	
		4,9] z. bsp	4,7] "	4,7] "	5,8] "	9,4] n. z	
	+ 200	6,2] 6,2 "	6,5] 6,8 "	7,5] 6,4 "	8,6] 6,6 "	8,5] 8,7 z	
		6,1] "	7,2] "	5,4] "	4,6] "	9,0] "	
Szew spawania w stanie przekutym. (AK)	— 15	6,1] 4,5 z.	1,2] 1,3 z. b.sp	2,0] 3 z.	1,0] 5,2 z	7,6] 6,8 z	
		3,0] "	1,3] "	4,0] "	9,5] n. z.	6,1] "	
	0	1,7] 1,8? z. bsp	1,7] 1,8 "	7,6] 6,7 "	7,5] 5,8 z.	5,0] 5,8 "	
		1,8] "	1,9] "	5,7] "	4,1] "	6,6] "	
	+ 18	4,2] 5,2 z.	2,5] 2,2 "	9,5] 9,6 "	11,6] 8,3 n. z.	4,7] 5,4 "	
		6,2] "	1,9] "	9,8] n. z.	5,0] z	6,0] "	
	+ 100	8,2] 8,1 "	7,3] 8,2 z.	8,6] 10,1 z	8,7] 8,6 "	11,0] 10,3 n. z	
		8,0] "	9,0] "	11,7] n. z	8,4] "	9,7] "	
	+ 150	11,6] 9,7 n. z.	8,3] 9,7 "	10,9] 9,1 "	8,8] 8,2 "	10,1] 8,5 "	
		7,9] z.	11,2] n. z.	7,3] z	7,5] "	6,8] z	
	+ 200	6,9] 7,0 "	8,7] 9,2 z.	5,7] 4,6 "	10,2] 8,3 n. z.	10,2] 9,8 n. z.	
		7,0] "	9,7] n. z	11,2] n. z.	6,4] z.	9,5] "	

Mikrofotografia 74 (pow. 2), przedstawia makroskopowy wygląd szwa spawanego



Rys. 74.

w stanie surowym (nieprzekutym) po wytrawieniu.

Średnia grubość szwa i warstw w pobliżu leżących i silnie utwardnionych, jak to widać z tablicy Nr 20, wynosi około 25 mm. Szew spawania posiada w stanie nieprzekutym średnią twardość 121,5 kg/mm², dla materiału niewyżarzzonego, a 113,3 kg/mm² dla wyżarzzonego. W obu wypadkach twardość szwa spawania wzrosła w porównaniu z twardością materiału spawanego (w stanie surowym 103,5 kg/mm², a w wyżarzonym 96 kg/mm²) o 17 — 18%. Szew spawania w stanie przekutym posiada średnią twardość 136,9 kg/mm² dla niewyżarzzonego materiału i 121,7 kg/mm² dla materiału wyżarzzonego. W pierwszym wypadku twardość szwa spawania wzrosła w porównaniu z twardością materiału spawanego o 32%, w drugim o 37%. Przekucie dla stanu niewyżarzzonego dało utwardnienie szwa spawania o 12,7%, a dla stanu wyżarzzonego 7,5% (porównaj: wpływ kucia na wzrost twardości miękkiego żelaza, rys. 3 Mechaniczne jednak właściwości szwa przekutego są znacznie lepsze. Na zakończenie składam tą drogą podziękowanie Dyrekcji Pierwszej Fabryki Lokomotyw w Polsce w Chrzanowie oraz koledze M. Kornaczewskiemu (Miłowice) za wykonanie i dostarczenie prób blach spawanych acetylenem.

TABLICA 20.

Twardość wg. Brinnell'a szwa spawanego acetylenem i wpływ kucia na twardość powierzchniową kg/mm².

Twardość mierzone na mm.	Próbka w stanie surowym				Próbka w stanie wyżarzonym			
	Szew surowy		Szew przekuty		Szew surowy		Szew przekuty	
	góra	dół	góra	dół	góra	dół	góra	dół
20	99	103,5	106,5	106,5	103,5	99	99	99
	103,5	103,5	106,5	106,5	96	99	103,5	99
	103,5	103,5	106,5	111	99	99	99	96
	103,5	103,5	111	111	96	99	99	96
	103,5	103,5	111	106,5	96	96	96	96
	103,5	103,5	106,5	103,5	99	96	96	96
	106,5	106,5	106,5	106,5	99	96	96	96
	103,5	106,5	106,5	106,5	99	103,5	103,5	99
40	111	111	106,5	106,5	99	103,5	99	99
	103,5	120	115,5	106,5	103,5	111*	99	103,5
	106,5	126*	136,5*	120*	111*	111*	111*	115,5*
	111*	130,5*	142,5*	130,5*	115,5*	130,5*	115,5*	120*
	126*	120*	142,5*	142,5*	111*	111*	130,5*	126*
	111*	111*	?	136,5*	111*	111*	130,5*	120*
	130,5*	120*	142,5*	142,5*	115,5*	111*	126*	120*
	126*	120*	142,5*	126*	103,5	111*	130,5*	103,5
60	126*	120	142,5*	111	106,5	106,5	120*	99
	111	115,5	136,5*	111	103,5	96	106,5	99
	111	115,5	120	111	99	99	99	96
	106,5	111	115,5	103,5	96	96	99	96
	106,5	111	111	106,5	96	99	99	96
	111	111	106,5	103,5	99	96	99	96
	106,5	106,5	106,5	106,5	103,5	96	99	96
	103,5	103,5	111	103,5	99	96	99	99
80	99	103,5	103,5	106,5	99	96	103,5	96
	103,5	103,5	106,5	103,5	99	99	99	96
	103,5	103,5	111	103,5	103,5	96	99	99
	103,5	103,5	106,5	103,5	99	99	99	96
	103,5	103,5	111	103,5	99	99	99	96
	103,5	103,5	106,5	103,5	103,5	96	99	99
	103,5	103,5	106,5	103,5	99	99	99	96
	103,5	103,5	106,5	103,5	99	96	99	96
120	103,5	103,5	106,5	103,5	99	99	99	96
	103,5	103,5	106,5	103,5	99	96	99	96
grubość szwa w mm	24	24	32	24	20	28	28	20
przeciętna twardość szwa	121,8	121,2	140,8	133,0	112,8	113,8	123,4	120,3

(d. c. n.)

Podał Inż. Z. K. Kielce.

GRANICE STOSOWALNOŚCI PARY JAKO ŹRÓDŁA ENERGJI MECHANICZNEJ¹⁾.

(ZE WZGLĘDU NA CIŚNIENIE).

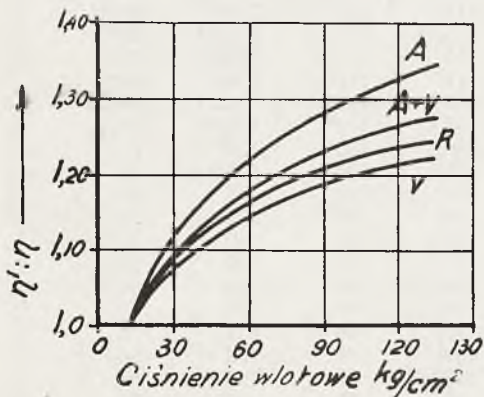
Rozważania nad granicą ciśnienia pary, przy jakim można ją stosować do wytwarzania energii, nie dotyczą wytrzymałości materiałów będących w naszym rozporządzeniu, lecz funkcjonowania instalacji z punktu widzenia termodynamiki pary wodnej, dającej wskazówki co do granic, do których warto podnosić ciśnienie dolotowe. W tych rozważaniach przedstawione są zasadnicze typy ewolucji: obieg Rankina zwykły; obieg Rankina z międzystopniowym ponownym przegrzewaniem pary; obieg Rankina z międzystopniowym przegrzewaniem pary i ogrzewaniem wody zasilającej (z regeneracją). Dla każdej z tych ewolucji poszukiwana jest zmiana sprawności termicznej w zależności od ciśnienia.

Nie jest tu konieczna znajomość absolutnej sprawności, gdyż wystarczy jedynie porównywanie sprawności w poszczególnych wypadkach między sobą; to też przyjęto dla każdego typu ewolucji, za punkt wyjścia obieg, w którym ciśnienie wlotowe pary wynosi 14 kg/cm^2 , a sprawność termiczna $= \eta$.

Będziemy stale przyjmować, iż temperatura pary dolotowej w turbinie jest temperaturą końcową — określoną jako taka w rozważaniach poprzedzających, to jest 480°C . Przyjmijmy również, iż ciśnienie w kondensatorze jest stałe i wynosi $0,035 \text{ kg/cm}^2$.

Obieg Rankina. W zwykłym obiegu Rankina zwiększenie ciśnienia powoduje zwiększenie sprawności według krzywej R na rys. 5.

Krzywa R rys. 5 jak i pozostałe krzywe na tym rysunku wskazują, że jeżeli w danych warunkach sprawność termiczna obiegu jest η , to

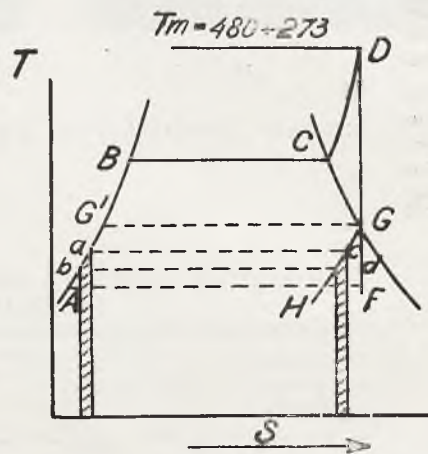


Rys. 5.

przy wzroście ciśnienia wlotowego z pozostawieniem bez zmiany reszty warunków, sprawność

termiczna η' wzrasta tak, iż stosunek $\eta':\eta$ wraz z wzrostem ciśnienia wlotowego równać się będzie kolejno: 1; 1,1; 1,2 i t. d.

Obieg z międzystopniowym ponownym przegrzewaniem pary. Przypuśćmy (rys. 6), że para o ciśnieniu p_1 i temperaturze T_m (punkt D) po adyabatycznym rozprężeniu do ciśnienia p_2 (punkt E), została dogrzana znowu do temperatury T_m (punkt D¹) a następnie rozpręża się do ciśnienia panującego w kondensatorze punkt F¹ (por. linje przerywane na wy-



Rys. 6.

kresie 6), do punktu F¹ (kondensator). Sprawność obiegu jest między innymi funkcją ilości ciepła nabytego podczas dogrzewania według izobary E D¹, zależy więc od położenia punktu E na adyabacie D F.

Można określić dla każdej wielkości ciśnienia, to jest dla każdego położenia D najwygodniejsze położenie punktu E, to jest ciśnienie, przy którym podczas rozprężania powinno być skutecznie dogrzanie pary. Postępując tak dla różnych ciśnień wlotowych i obliczając sprawności η' odpowiednich obiegów, otrzymamy krzywą V (rys. 5). Stosunek $\eta':\eta$ wskazuje iż zwiększenie się sprawności obiegu wraz ze wzrostem ciśnienia wlotowego nie jest tak szybkie jak w obiegu Rankina.

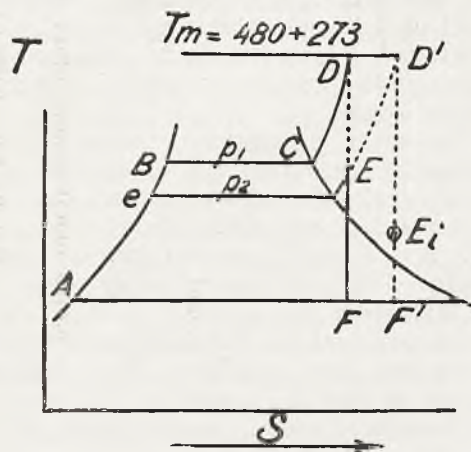
Do porównania, które mamy na celu, nie jest konieczne badanie wypadku międzystopniowego dogrzewania pary w kilku stopniach.

Obieg z teoretyczną regeneracją ciepła (recuperation theorique) przez ogrzewanie wody zasilającej.

W tym wypadku pod regeneracją rozumie się odejmowanie od masy pary podczas rozprężania ilości ciepła, równoważnej całkowitemu ciepłu ogrzania równej masy cieczy.

¹⁾ Por. *Technika Ciepła*, 1926, str. 62 i 63.

A więc jeżeli rozprężanie dojdzie do G (rys. 7) przestaje być adyabatycznym i odbywa się w dalszym ciągu według linii GH , odpowiadającej łukowi AG^* w taki sposób, iż wielkości absolutne ilości ciepła $\int T.ds$ wymienione wzdłuż tych dwóch łuków są sobie równe. Aby regeneracja



Rys. 7.

ciepła wzdłuż GH odbywała się bez strat, powinna posiadać charakter odwracalności, co wymaga nieskończenie wielkiej ilości stopni (étages) nieskończenie małych ogrzewań wody zasilającej w taki sposób, aby wymiana ciepła odbywała się wzdłuż łuków izoterm nieskończenie krótkich.

Krzywa A rys. 5 przedstawia w tym obiegu przyrost sprawności w zależności od ciśnienia wlotowego obiegu. Przyrosty zwiększają się szybciej jak w obiegu Rankina.

Obieg z międzystopniowym dogrzewaniem pary i regeneracją.

Jeżeli obydwa poprzednie zabiegi zostaną połączone należy oczekiwać, iż przyrost sprawności ze wzrostem ciśnienia będzie wolniejszy niż przy obiegu z zastosowaniem jedynie regeneracji ciepła.

Kolejne pobieranie pary, niezbędnej do ogrzewania, odbywają się poniżej izobary ED^1 (rys. 6) i odpowiednie punkty przedstawiające te stany rozmieszczone są według adjabaty D^1F' . Zakładamy, iż pobór pary; odpowiada całkowitemu ciepłu ogrzewania wody, wzdłuż dolnej krzywej granicznej, a więc od punktu początkowego A do punktu e , znajdującego się na izobarze punktu E .

Oznaczmy przez Q_m całkowite ciepło, której go należy udzielić jednostce masy wody, aby jej pozwolić wychodząc z tego samego punktu początkowego A , zmierzać do jakiegokolwiek punktu M , według dolnej linii granicznej, następnie według izobary punktu M . Niech będzie y_i masa pary pobierana ze stopnia i ; y_1 — masa pobierana w pierwszym stopniu w punkcie E . Obieg opisany przez czynnik — parę będzie: $ABCD E D^1 F^1 A$, i gdyby nie było odbioru, miarą ciepła zamie-

nionego na pracę, byłaby powierzchnia ograniczona tym konturem.

Należy jednak zauważyć, że:

1) Dogrzewaniu ulega tylko część 1 — y_1 czynnika tak, że odpowiednie ciepło dostarczone, wynosi tylko:

$$\left[(1 - y_1) \int_{(E)}^{(D^1)} T ds \right]$$

2. Wskutek odbioru mas: y_i w punkcie E_i , traci się pracę, któraby była wykonana przez rozprężanie tej masy czynnika z punktu E_i do punktu F^1 , to jest pracę odpowiadającą:

$$y_i (Q^{Ei} - Q^{E'})$$

3) Ciepło ogrzania cieczy (cieplik cieczy) od A do e , nazwijmy je Q_e , nie jest dostarczone zzewnątrz, gdyż zostało zregenerowane (récupérée) z pary odbiorczej.

W tych warunkach sprawność termiczna, która jest stosunkiem ciepła zamienionego na pracę, do ciepła dostarczonego z zewnątrz wyraża się:

$$\eta = \frac{Q_D - Q'_F + (1 - y_1) \int_{(E)}^{(D')} T ds - \sum y_i (Q_{Ei} - Q'_F)}{Q_D + (1 - y_1) \int_{(E)}^{(D')} T ds - Q_E}$$

Punkt *E* przedstawia najwygodniejsze dogrzewanie pary dla danej izobary. Ilość stopni (étages) ogrzewania wody zasilającej bywa 3 do 5.

Korzyści w sprawności obliczone w tych warunkach przedstawia na rys. 5 krzywa $A+V$.

Krzywe tego rysunku wskazują, iż sprawność poprawia się w miarę wzrostu ciśnienia, ale że znaczne korzyści na sprawności otrzymuje się tylko dla ciśnień zawartych pomiędzy 14 i 70 kg/cm².

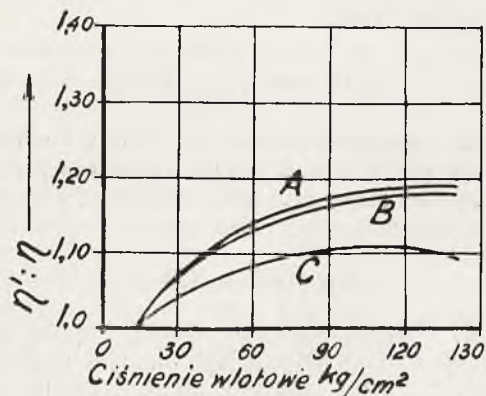
Wnioski praktyczne. Straty. Rozpatrywano dotychczas z punktu widzenia teorii termodynamiki, wpływ zwiększania wlotowego ciśnienia pary na sprawność czterech obiegów idealnych, lecz w celu ostatecznego wypowiedzenia się odnośnie granicy, do której warto zwiększać ciśnienie wlotowe, należy również uwzględnić okoliczności szczególne, w których silnik rzeczywisty funkcjonuje.

Jeżeli ciśnienie wlotowe wzrasta, to rozprężenie odpowiednio wydłuża się zarówno w dziedzinie pary nasyconej, jak i przegrzanej.

Uwzględniając wpływ wilgotności pary w różnych stopniach turbiny, na jej sprawność i wpływ poszczególnych strat, zmieniających się w realnej nowoczesnej turbinie z dogrzewaniem pary i regeneracją, w zależności od ciśnienia wlotowego—otrzymujemy rys. 8, na którym poszczególne krzywe przedstawiają nadwyżkę sprawności termicznej w porównaniu z takim samym obiegiem lecz przy wlotowym ciśnieniu pary 14 kg/cm², przy następujących założeniach:

Pracę zużywaną przez pompy zasilające przyjęto dwa razy większą od pracy teoretycznej

(różnica rzędnych krzywej *A* i *B* rys. 8, patrz niżej znaczenie tych krzywych), co do sprawności kotła przypuszczano, że palenisko zachowuje stałą temperaturę, przy jakimkolwiek ciśnieniu, odpowiadającą najwyższej wytrzymałości ognio-



Rys. 8.

trwałych ścianek paleniska. Sprawność kotła zależy więc głównie od temperatury gazów przy

wyjściu. Co do tej temperatury uczyniono przypuszczenie dość bliskie rzeczywistości, że temperatura ta daje stałą różnicę z temperaturą wody w kotle odpowiednio do wzrostu ciśnienia.

Sprawność więc kotła zmniejsza się mniej więcej o 1% jeżeli ciśnienie wzrasta o 24 kg/cm².

Na rys. 8 krzywa *A* przedstawia zmianę sprawności termicznej omawianego obiegu w zależności od ciśnienia wlotowego.

Krzywa *B* przedstawia to samo co krzywa *A* z uwzględnieniem pracy zużytej przez pompy zasilające kocioł.

Krzywa *C* przedstawia zmianę sprawności termicznej w zależności od wlotowego ciśnienia pary, z uwzględnieniem sprawności kotła i pracy zużytej przez pompy zasilające kocioł.

Z rys. 8 widać, iż dla ciśnień zawartych pomiędzy 100 i 140 kg/cm² zwiększenie sprawności termicznej jest słabe.

Badanie krzywej *C* wskazywałoby, że ciśnienie optimum leży pomiędzy 70 i 105 kg/cm². Ustalamy je jako 85 kg/cm².

Posiadamy więc 2 granice górne: 480°C. dla temperatury i 85 kg/cm² dla ciśnienia.

PRZEMIANA WĘGLA KAMIENNEGO NA ROPE.

Streszczenie referatu d-ra Bergiusa, wygłoszonego w listopadzie ub. r. na zebraniu w Carnegie Institute w Pittsburgh'u, Pa.

Od dziesięciu przeszło lat badano w Europie zagadnienie wytwarzania ropy z węgla kamiennego. Zapasy ropy naturalnej są na wyczerpaniu. W okresie poprzedzającym wzrost zastosowania silników spalinowych do celów lokomocji kopalnie polskie, rumuńskie i rosyjskie zaspakajały w zupełności potrzeby rynków europejskich, producenci ropy poszukiwali nawet nowych rynków zbytu dla swoich wytworów.

W okresie wielkiej wojny i w okresie wojennym warunki te zmieniły się najzupełniej. Europa znalazła się wobec zmniejszenia lub zawieszenia dostaw ropy zamorskiej, spowodowanych zwiększeniem spożycia miejscowego i wobec perspektywy, że i w przyszłości te źródła dopływu ropy mogą się okazać zawodne. Łątwo przeto zrozumieć, dlaczego zagadnienie, dotyczące zastąpienia ropy kopalnej ropą sztuczną, nabrało w Europie tak poważnego znaczenia.

Surowcem, jakim w tym celu możemy rozporządzać, może być tylko węgiel kamienny lub wogóle węgiel kopalniany.

Rozwiązania zagadnienia poszukiwano na trzech różnych drogach. Najdawniej znaną i najszczegółowiej w literaturze technicznej opracowaną była metoda, która stanowi dalsze rozwinięcie i udoskonalenie znanego procesu dystalacji, zwana zazwyczaj metodą dystalacji węgla przy niskiej temperaturze. Od stulecia niemal stosowana w gazowniach i koksowniach metoda dystalacji pogłębiała została przeprowadzonymi

przy najróżnorodniejszych warunkach fizycznych badaniami. Zaprojektowano przytem szereg odpowiednich mechanicznych aparatów, sprawdzono ich sprawność i zastosowano niektóre z nich w skali przemysłowej.

Nie ulega wątpliwości, że po przewycięzeniu wielu wstępnych trudności i błędów, niektóre procesy przetwórcze, oparte na dystalacji węgla przy niskiej temperaturze opracowane zostały bardzo szczegółowo i dokładnie. Procesy te niewątpliwie odegrać mogą poważną rolę w produkcji koksu i smoły pewnego rodzaju.

Węglowodory ropy naftowej powstają tutaj jedynie jako produkt poboczny w bardzo nieznacznej ilości. Oceniając możliwość procesów, opartych na dystalacji węgla przy niskiej temperaturze podzielić niewątpliwie należy zdanie amerykańskiego uczonego *L. Doherty'ego*, który stwierdza, że, gdybyśmy całą dzisiejszą produkcję węgla w Ameryce poddali dystalacji przy niskiej temperaturze, otrzymalibyśmy bardzo nieznaczną, w stosunku do produkcji naturalnej gazoliny w Ameryce jej ilość. Zaznaczyć jednak odrazu należy, że opinia *Doherty'ego* o tyle tylko za słuszną uważać można, o ile mamy na myśli jedynie metody dystalacji węgla przy niskiej temperaturze.

Trzy metody.

Rozpatrując pierwszą z trzech metod sztucznego wytwarzania ropy stwierdzić należy, że dystalacja węgla przy wysokiej lub przy niskiej temperaturze może mieć znaczenie tylko ze stanowiska

ogólnego wyzyskania węgla. Ze stanowiska przetwarzania węgla na ropę nie posiada ona wcale znaczenia. Dalszy rozwój przemysłu dystylacyjnego zależy całkowicie od zdobycia rynków zbytu na koks, który stanowi główny produkt tego przemysłu.

Przed omówieniem proponowanej przez autora drugiej z kolei metody, polegającej na bezpośrednim traktowaniu węgla wodorem, należy dla dokładniejszego zrozumienia różnicy omówić w kilku słowach metodę trzecią.

Podstawę tej trzeciej metody stanowi odbudowa węglowodorów ze składników węgla kopalnego. Możliwa jest oczywiście również bezpośrednia chemiczna synteza węglowodorów z węgla i wodoru. Taka reakcja nie posiada jednak dotąd wartości przemysłowej. Przy pewnej temperaturze z węgla i wodoru wytworzyć się daje metan, również w odpowiedniej temperaturze wytworzyć można bezpośrednio acetylen i benzol. Przy zastosowaniu węglików metali w roli katalizatorów powstawać mogą węglowodory płynne.

Reakcje te posiadają jednak, jak wyżej powiedziano, dotąd wartość jedynie teoretyczną.

Przed 12 przeszło laty *Badische Anilin — und Soda-Fabrik* opatentowała reakcję syntezującą złożone węglowodory. Punktem wyjścia tej reakcji nie był węgiel lecz tlenek węgla, który pod wysokim ciśnieniem i przy współdziałaniu pewnych katalizatorów łączył się z wodorem, tworząc przytem szereg węglowodorów i ich pochodnych tlenowych.

Po dokładnem zbadaniu właściwości różnych katalizatorów oraz wpływu zawartych w gazach zanieczyszczeń udało się rozwinąć znany proces przemysłowy, prowadzący do produkcji metanolu i innych alkoholów. Ustalono również warunki, w jakich w tej katalitycznej reakcji powstawać mogą różne węglowodory i alkohole.

Na podstawie tej to reakcji *Franz Fischer* w Niemczech oraz *Audibert* i gen. *Patard* we Francji przeprowadzili dalsze dociekania, uwieńczone opracowaniem metody syntetycznej wytwarzania płynnego paliwa z tlenku węgla i wodoru.

Zastosowania metody syntetycznej.

Ani z chemicznego, ani z technicznego stanowiska nie ulega najmniejszej wątpliwości, że syntezę tego rodzaju można przeprowadzić z powodzeniem. Niewiadomo tylko, czy metody tego rodzaju w zastosowaniu do produkcji paliwa mogą się opłacać. Fakt, że *Badische Anilin—und Soda-Fabrik*, której zawdzięczamy odkrycie podstawowej reakcji syntetycznej i której doświadczenie w procesach przemysłowych, odbywających się pod wysokim ciśnieniem jest dobrze znane, stosuje powyższe reakcje jedynie do produkcji metanolu i różnych innych alkoholów, zdawałoby się kwestjonować opłacalność produkowania płynnego paliwa tą drogą.

Nowsza propozycja podobnej reakcji pod normalnem ciśnieniem nie wydaje się posiadać

zalet ekonomicznych, wobec znanych powszechnie korzyści, jakie osiągnąć się dają przy stosowaniu wysokiego ciśnienia we wszystkich procesach, w których mamy do czynienia z większymi masami gazów.

Węgiel kopalny, kamienny czy brunatny (lignit) zawiera składniki chemiczne dwojakiego rodzaju. Jedne z nich pochodzą głównie z błonnika i z włókna roślinnego, inne zaś, bitumiczne, z tłuszczów, substancji białkowych, żywicy, wosku i t. p. Pierwsze i drugie składają się z węgla, z wodoru i z tlenu, ale składniki bitumiczne zawierają więcej wodoru i znacznie mniej tlenu niż błonnikowe.

Uwzględniając, że w zwykłych węglach tłuszczowych (długopłomiennych) stosunek węgla do wodoru odpowiada stosunkowi 16 do 1, w ropie zaś naturalnej około 8 do 1, stwierdzić wypada, że na to, aby węgiel przetworzyć na ropę, należy ilość wodoru podwoić.

Wyniki osiągnięte przy dawniejszych metodach.

Proces dystylacyjny oraz proces syntetyczny działają we wręcz odmiennym kierunku. Proces dystylacyjny powoduje wydzielanie się znacznych ilości wodoru z węgla. W procesie syntetycznym węgiel kopalny zostaje zamieniony w koks, koks zaś z kolei rzeczy w tlenek węgla. Ostatni wchodzi w reakcję z masą dostarczonego zzewnątrz wodoru, który zużyty zostaje w pewnej części na związanie tlenu, w części zaś łączy się z węglem wytwarzając właściwe ustosunkowanie obu pierwiastków, o którym była mowa poprzednio.

Ponieważ do wytworzenia wodoru trzeba zużyć odpowiednią ilość paliwa lub energii w innej jakiejś postaci (na wyprodukowanie 1 części wagowej wodoru zużyć wypada 8 części wagowych węgla), przeto ze stanowiska zachowania energii główną uwagę zwrócić należy na to, by zachować o ile można masę związanego już z węglem węgla kopalnianego wodoru podczas przetwarzania węgla na węglowodory płynne.

Z tych założeń wychodził autor przy opracowaniu swej metody otrzymywania ropy naftowej z węgla. W 1913 roku w laboratorium w Hannoverze wykonane zostały pierwsze próby, w których dążono do nasycenia składników węgla kamiennego niezbędną w celu przetworzenia węgla na ropę ilością wodoru.

Nowa metoda jest wynikiem długotrwałych badań nad chemiczną budową węgla rozpoczętych około 1910 r.; badania te pozwoliły na ustalenie podstawowej reakcji a przy jej pomocy na bliższe wyjaśnienie szeregu chemicznych właściwości węgla kopalnego.

Liczni chemicy uważali dotychczas, że węgiel stanowi jedynie mieszaninę węgla z rozmaitemi przygodnymi substancjami, zawierającymi wodór. Będące wówczas do dyspozycji metody chemii analitycznej nie dawały możliwości odtworzenia obrazu cząsteczkowej budowy złożonych

substancji, z jakich węgiel się w istocie składa, Autor przypuszczał tedy, że zachodzi możliwość rzucenia pewnego światła na te zagadnienia przez przeprowadzenie zabiegu laboratoryjnego, naśladującego przyrodę, która w dawnych epokach geologicznych wytworzyła węgiel z resztek roślinnych.

Postawienie badania.

Brak miejsca nie pozwala na bliższy opis tych niezmiernie złożonych badań, jakie w ciągu sześciu lat w związku z opracowaniem szczegółów nowej metody zostały przeprowadzone. Autor powołuje się na sprawozdanie złożone w tej sprawie w 1912 roku na kongresie chemii stosowanej w New-Yorku (*Congress of Applied Chemistry*). Rozpoczęto badania od reakcji, prowadzącej do przetworzenia błonnika i drewna na węgiel. Otrzymany w drodze syntetycznej węgiel odpowiadał w zupełności węglowi kopalnemu. Badając produkt i warunki, w jakich reakcja zachodziła, autor wytworzył sobie pewne hypotetyczne pojęcie o budowie chemicznej podstawowego produktu tej reakcji, t. j. węgla. Wzór budowy nie był przez autora nigdzie ogłoszony, gdyż posiadał on jedynie wartość pomocniczą, hypotetyczną i nie mógłby być naukowo i teoretycznie dostatecznie uzasadniony.

Hypoteza ta była jednak bardzo pożyteczna w dalszych pracach, gdyż wprowadzała węgiel do grupy tych substancji chemicznych, które przy pewnych warunkach zdolne były do reakcji z wodorem.

Najwięcej wątpliwości nastroczało pytanie, czy aby możliwy jest związek wodoru z biernym z natury węglem i czy odpowiednia reakcja da się przeprowadzić w warunkach odpowiednich do przemysłowego jej stosowania? Coprawda już w 1869 roku genialny chemik francuski *Berthelot* zdołał przy pomocy niewyszukanej ówczesnej aparatury laboratoryjnej połączyć wodór z węglem. Reakcja *Berthelot'a* nie miała jednak widoków na praktyczne jej zastosowanie i różniła się zasadniczo od interesującego nas procesu, polegającego na przemianie węgla kopalnego pod wpływem wodoru na produkty ciekłe.

Nasywanie związków nienasyconych wodorem przy pomocy katalizatorów znane było w pracowniach chemicznych i w przemyśle, szczególnie przy zestalaniu i utwardzaniu tłuszczów i olejów oraz znana była reakcja wodoru z azotem w produkcji syntetycznego amoniaku. Proces katalityczny nie mógł w tym wypadku znaleźć zastosowania wobec surowca tego rodzaju co węgiel i ze względu na bardzo w owym czasie ograniczone wiadomości o własnościach katalizatorów. Ponadto wodór nie wchodził w reakcję z węglem kopalnym w normalnych warunkach i przy takich temperaturach, przy których węgiel nie zostawałby całkowicie rozłożony. Wyjaśniło się jednak, że w pewnych warunkach działanie katalizatora daje się zastąpić działaniem silnie zagęszczonego gazu czynnego i udało się prze-

prowadzić taką reakcję przy pomocy wodoru, znajdującego się pod bardzo wysokim ciśnieniem.

Rozwiązanie zagadnienia.

Okoliczność powyższa usprawiedliwiała przewidywania, że prace rozpoczęte doprowadzą do rozwiązania zagadnienia przetwarzania węgla kopalnego na ropę.

Badania wstępne pochłonięły dużo bardzo skomplikowanej pracy. Zadawano sobie jednak stale sprawę z wagi zagadnienia.

W warunkach laboratoryjnych, w jakich pierwsze reakcje przeprowadzone zostały, poważne trudności sprawiała potrzeba operowania znacznymi ilościami gazów. Pierwszy schemat fabrykacji dał w wyniku reakcji nie ropę, lecz jakąś koksową masę. Niepowodzenie było, jak się okazało później, skutkiem wytwarzania się przynasywania węgla wodorem znacznych ilości ciepła, które trudno było odprowadzić. Następowo przegrzanie produktu i temperatura reakcji nadmiernie wzrastała, wobec czego zamiast nasywania węgla wodorem rozpoczynał się proces dystalacji węgla. Powyższą trudność przezwyciężono, prowadząc reakcję z udziałem pewnego płynu, mianowicie ropy węglowej. Znajdujący się w zawieszeniu w tej ropie węgiel unikał kodliwego wpływu nadmiernej temperatury.

Ustalono również wkrótce, że reakcja przemiany składa się właściwie z dwóch w mniejszym lub większym stopniu współdziałających ze sobą reakcji, a mianowicie z reakcji wzbogacenia węgla w wodór oraz z rozkładowej (*cracking*¹⁾ dystalacji węgla. W pewnym zakresie niższych temperatur reakcja pierwsza zachodzi prędzej niż reakcja druga, przy wyższych natomiast temperaturach reakcja ostatnia zostaje przyspieszona i w takich warunkach produktem końcowym reakcji będzie koks zamiast ropy, pomimo wysokiego ciśnienia czynnego przy reakcji wodoru i pomimo jak najdokładniejszego przenikania masy węgla przez gaz.

Wchłanianie wodoru rozpoczyna się przy stosunkowo niskiej temperaturze. Traktowany w ciągu kilku godzin przy temperaturach od 300° do 350°C węgiel zachowuje stan stały ale wchłania znaczniejsze ilości wodoru i nabiera konsystencji smoły o wysokim punkcie topliwości. Substancja staje się płynna, jeżeli proces prowadzić dalej przy temperaturach ok. 420°C.

Z powyższego łatwo wywnioskować, że proces przemiany węgla na produkt ciekły ze stanowiska chemicznego składa się z dwóch reakcji wchłaniania wodoru i z reakcji rozkładu bardzo skomplikowanych cząsteczek węgla na prostsze, które znowu wchłaniają nowe masy wodoru.

Ostatnia z tych reakcji wymaga takich samych warunków, jak rozkład smoły na ciężkie

¹⁾ „Cracking” oznacza rozpad na drobniejsze cegiełki—składniki.

oleje węglowe przy niskiej temperaturze w obecności znajdującego się ciśnieniem wodoru; te warunki były przez autora zbadane na większą skalę. Reakcja omawiana stanowi innemi słowy proces destylacji rozkładowej (cracking process), w którym zachodzi jednocześnie wchłanianie wodoru. Zmieniając w odpowiedni sposób warunki procesu możemy w wyniku dowolnie ustosunkować końcowe produkty lotne oraz frakcje lekkie i ciężkie.

Reakcje chemiczne.

Proces przemiany węgla kopalnego na produkt ciekły składa się zatem z zespołu złożonych reakcyj chemicznych.

Wodór wchodzi w skład cząsteczek składników węgla we względnie wielkich ilościach. Im wyższą jest temperatura reakcji, tem większa ilość cząsteczek węgla rozpada się na cząsteczki drobniejsze, które wchłaniają wodór i z nienasyconych stają się nasyconemi.

Poczynając od metanu i kończąc na złożonych węglowodorach wyższego rzędu, powstają typowe związki szeregow; alifatycznego, aromatycznego i hydroaromatycznego z wyjątkiem oczywiście węglowodorów nienasyconych, które w obecności silnie sprężonego i znajdującego się w nadmiarze wodoru powstawać nie mogą. Oprócz związków wymienionych już szeregów, napotykamy tu również związki fenolowe a przede wszystkim krezol, nadto amonjak. Dla zdobycia powyższych rezultatów należało opracować metody pracy odpowiednie dla aparatu pracującego pod wysokim ciśnieniem, przeprowadzić ścisłą kontrolę ogrzewania i temperatur oraz dokonać szeregu badań analitycznych.

Już po wykonaniu przez autora prawie tysiąca doświadczeń zjawily się w prasie zawodowej głosy, dowodzące niemożliwości omawianej przemiany. Dowodzone, że proponowana przez autora metoda była zwykłą dystylacją pewnych specjalnych gatunków węgla, przy niskiej temperaturze. Porównanie wyników dwóch analogicznych doświadczeń, z których pierwsze wykonane

zostało z wodorem, drugie z azotem, przy zupełnie pozatem jednakowych warunkach udowodniło, że opinia taka jest błędna.

Gatunek węgla.

Głównym tematem badań chemicznych było zagadnienie, dotyczące określenia, jaki gatunek węgla kopalnego dać może najkorzystniejsze wyniki. Zbadano znaczną ilość gatunków węgla kamiennych i brunatnych.

Badania w liczbie tysiącznych doświadczeń objęły wszystkie prawie gatunki węgla, pochodzące z różnych stron świata, prócz węgla antracytowego. Węgłe brunatne wykazały zdolność do nieco szybszej reakcji i dały więcej produktów ciekłych od węgla kamiennych długopłomiennych (bituminous), pozostawiając zaledwie do 10% niezmiennionej substancji stałej w zależności od stosowanej przy reakcji temperatury. Z 50% zawartego w węglu azotu powstał przytem amonjak. Reszta azotu przechodziła do masy płynnej. Większa część domieszki siarki tworzyła siarkowodór, czyli związek z którego najłatwiej siarkę wydzielić.

Ilość otrzymanej ropy wahała się w granicach od 40 do 70% wagowych przerobionego węgla w zależności od gatunku surowca. Powyższe obliczenia oparte są na % wagowych w stosunku do wagi wprowadzonego do aparatu węgla. Innemi słowy 1 short ton (907 kg.) węgla wydaje 107 do 185 gallons (405 do 700 litrów) ropy. Liczby te oparte są na badaniach węgla w stanie surowym i o normalnej zawartości popiołu.

Niejednokrotnie napotkać można twierdzenie, że do przemiany na ropę nadają się tylko niektóre specjalne gatunki węgla. Wobec tego należy podkreślić, że jedynie węgle antracytowe oraz węgle zawierające większe ilości zwilgających się składników topliwych są nieprzydatne do niej. Wszystkie pozostałe gatunki węgla kamiennych i brunatnych nadają się bez zastrzeżeń. Wydajność ropy wynosi przytem od 40 do 70%, o ile zawartość popiołu nie przewyższa 10%, a wody 5%. Im węgiel zawiera więcej popiołu — tem wydajność ropy będzie mniejszą. (c. d. n.).

KRONIKA TECHNICZNA.

1. O ANALIZIE SPALIN W CZOPUCHACH

W warunkach pracy praktycznej, kiedy musimy się szybko orjentować w kotłowni, co do jakości procesu spalania, koniecznem jest mieć prosty sposób do przekonania się, czy wskazania analizatora gazów czopuchowych są prawidłowe i czy gazy te nie zawierają niedopalonych produktów, CO , H i t. d.

Jak wiadomo określenie bezwodnika węglowego CO_2 i O jest proste i daje się szybko uskutečnić — natomiast określanie niedopalonych produktów CO , H i t. d. jest znużające i zawsze może budzić wątpliwości.

Już dawno odczuwano konieczność odnalezienia sposobu, któryby dawał możność wnioskowania na podstawie wskazań CO_2 i O o obecności niedopałków w gazach czopuchowych.

Obecnie z jednego podręcznika do drugiego przechodzi rozwiązująca to zadanie metoda graficzna Ostwalda o której mówiono i na kursach dokształcających dla inżynierów. Niewiem tylko, czy w warunkach kotłowni można będzie korzystać z „grafikonu” Ostwalda i innych.

Wobec tego dobrze będzie przypomnieć prace dyrektora Magdeburgskiego Stowarzyszenia Dozoru Kotłów, zgasłego inżyniera *Cario* i pracującego dotąd praktycznie na polu technicznym zasłużonego inżyniera *A. Dosch'a*.

Dyrektor *Cario* w roku 1896 w Bonn na zjeździe międzynarodowym Stowarzyszeń Dozoru Kotłów ogłosił tablicę składu spalin czopuchowych, wychodząc już wtedy z założenia, że przy pełnem spalaniu suma $CO_2 + O$ w procentach nie jest równą 20, przyczem brakujący składnik należy odnosić na rachunek niedopałków.

Poniższa tablica dyrektora *Cario* podaje przy pełnem spalaniu następujący stosunek części składowych spalin czopuchowych:

jeżeli $CO_2 = 3$	to $O = 17,8$	i $N = 79,2$
4	16,6	79,4
5	15,5	79,6
6	14,2	79,8
7	13,0	80,0
8	11,9	80,1
9	10,8	80,2
10	9,7	80,3
11	8,6	80,4
12	7,5	80,5
13	6,4	80,6
14	5,3	80,7
15	4,2	80,8
16	3,0	81,0
17	1,8	81,2
18	0,6	81,4
18,5	0	81,5

Cyfry powyższe *Cario* zestawiał na podstawie praktycznych doświadczeń i proponował jako średnie, z pewnemi zastrzeżeniami.

W 1907 roku *A. Dosch* na podstawie obliczeń ścisłych i szeregu zestawień dla rozmaitych gatunków koksu, węgla kamiennego i brunatnego wykazał, że wielkość sumy $CO_2 + O$ jest w pierwszym rzędzie zależną od nadmiaru powietrza, przyczem naprzykład dla węgla kamiennego o wartości opałowej od 7520 do 6660 jednostek ciepła zmienia się ona od 18,8 do 20,4 odpowiednio przy $\varphi = 1$ do $\varphi = 3$.

Na specjalną uwagę zasługuje prawie zupełna niezależność od gatunku węgla zawartości O przy jednakowym nadmiarze powietrza.

Wogóle zaś stwierdzono, że przy pełnem spalaniu dla danego gatunku paliwa pewnemu CO_2 odpowiada zupełnie określona ilość O i na odwrót.

Również suma $CO_2 + O$ nie może przekraczać pewnej określonej wartości. A zatem na podstawie analizy gazów czopuchowych mając wartość CO_2 i O można orzec czy spalanie jest kompletne czy też nie.

W poniższej tablicy, nie wymagającej w zastosowaniu uprzedniej znajomości chemicznego składu paliwa i uwzględniającej 3 gatunki paliwa na jakie można podzielić spotykane w praktyce gatunki, zestawiał inżynier *A. Dosch* wyniki swych badań:

Antracyt i węgiel chudy			Węgiel kamienny			Węgiel brunatny			
CO_2	φ	O	CO_2+O	φ	O	CO_2+O	φ	O	CO_2+O
6	—	14,7	20,7	3,08	14,4	20,4	3,0	14,0	20,0
7	2,8	13,6	20,6	2,7	13,3	20,3	2,5	12,9	19,9
8	2,5	12,5	20,5	2,3	12,2	20,2	2,25	11,8	19,8
9	2,2	11,4	20,4	2,1	11,0	20,0	2,0	10,6	19,6
10	1,95	10,3	20,3	1,9	9,9	19,9	1,8	9,5	19,5
11	1,75	9,2	20,2	1,7	8,7	19,7	1,65	8,4	19,4
12	1,6	8,1	20,1	1,55	7,6	19,6	1,5	7,4	19,3
13	1,5	7,1	20,1	1,45	6,5	19,5	1,4	6,2	19,2
14	1,4	6,0	20,0	1,35	5,4	19,4	1,3	5,0	19,0
15	1,3	4,9	19,9	1,25	4,3	19,3	1,2	3,8	18,8
16	1,2	3,8	19,8	1,2	3,2	19,2	1,14	2,7	18,7
17	1,15	2,7	19,7	1,1	2,1	19,2	1,05	1,5	18,5
18	1,10	1,6	19,6	1,05	0,9	18,9	1,0	0,2	18,2
19	1,05	0,5	19,5	—	—	—	—	—	—

Przykład 1:

Przy spalaniu węgla kamiennego okazało się, dajmy na to, że zawartość w spalinach CO_2 wynosi 11,5%.

Jak wysoka powinna być zawartość O , jeżeli spalanie jest kompletne?

Zgodnie z tablicą suma $CO_2 + O$ leży pomiędzy 19,6 i 19,7, a zatem zawartość O będzie się znajdować pomiędzy 19,6—11,5 do 19,7—11,5, co stanowi 8,1 do 8,2%.

Przykład 2:

Analiza spalin w czopuchu danego kotła wykazała, że $CO_2 + 15\%$ i $O = 2\%$. Suma $CO_2 + O$ wynosi 17%, według tablicy zaś musi stanowić najmniej 19,3%. Różnica $19,3 - 17 = 2,3\%$, całkowicie musi być zatem odniesiona na gazy niespalone,

W ten prosty sposób zawsze można określić zawartość gazów niespalonych w czopuchu, o ile rozumie się chodzi o wielkości praktycznie mające znaczenie ze względu na dodatkowo wyrządzane straty.

Najważniejszą rzeczą w tych wypadkach jest sama świadomość że spalanie nie jest pełne.

Nie należy się oczywiście ubiegać o określanie śladów gazów nieopalonych.

Dyrektor *Cario* w jednym z ogłoszonych następnie artykułów polecił korzystanie z tablicy *A. Dosch'a* kwalifikując ogłoszoną przez siebie tablicę jako zapoczątkowanie, nadające się dla węgla kamiennego i brunatnego, zaś — co do wielkości strat jakie powodują gazy niedopalone, zaproponował, aby szacować je w wysokości 5% wartości ogólnej paliwa na każdy 1% niedopałków. A zatem, w powyższym przykładzie 2, do normalnych strat kominowych, obliczonych chociażby według wzoru *Siebert'a* dojdzie jeszcze dość poważna strata w wysokości $2,3 \times 5 = 11,5\%$.

Inżynier *A. Dosch* powyższą praktyczną cyfrę uzasadnił następnie drogą rachunkową i na niej się zatrzymał, stosując ją w późniejszych swoich cennych pracach.

Każdemu, który chciał w powyższą sprawę bliżej wejrzeć, należy polecić jeszcze: *Zeitschrift für Dampfkessel und Maschinenbetrieb* № 39 i № 43, rok 1907, a także № 1, 2 i 3 rok 1908, gdzie znajdzie artykuły *Cario, Dosch'a Burra* i *Bibliothek der gesamten Techn.*, 124 Band, von *A. Dosch*, rok 1909, str. 150—153. *B. G.*

2. WYNIKI DOTYCHCZASOWE I PRZEWIDYWANE W SIŁOWNI EDGAR STATION W BOSTONIE.

Edgar Station centrala — okręgowa Towarzystwa *Edison Electric Illuminating Co.* w Bostonie, Mass. znana poprzednio pod nazwą *Weymouth Station* zużywa obecnie 0,45 kg węgla na kWh. Przeciętne zużycie 'miesięczne na kWh w jednostkach cieplnych wynosi 3,700 j. c. Instalacja wykończona jest dopiero częściowo. Większą część obciążenia elektrowni pokrywa obecnie zespół turbogeneratorów, o mocy 30.000 kW, pracujących pod t. zw. normalnem ciśnieniem i zainstalowanych na *L. Street Station* w południowej dzielnicy Bostonu. Zespół kotłów i turbin na ciśnienie 83 at. znajduje się w okresie próbnego ruchu. Najwyższe ciśnienia nie były jeszcze stosowane w turbinach.

T. zw. „normalne” ciśnienie pary wynosi 24 at. Z wyników dotychczasowych doświadczeń wynika, że zespół wysokiej prężności w normalnej pracy wytwarzać będzie 1 kWh kosztem 0,43 kg. węgla wysokiej wartości opałowej. Zespół wysokoprężny nie jest jeszcze wykończony

Kierownictwo elektrowni przypuszcza, że po całkowitem zrealizowaniu zamierzeń zużycie węgla na 1 kWh nie przewyższy 0.40 kg węgla.

3. MOC SILNIKÓW I LICZBA ROBOTNIKÓW PRZEMYSŁOWYCH W STANACH ZJEDN. AMERYKI PÓŁN.

Rodzaj silników	R o k		
	1914	1919	1923
<i>Energja wytwarzana w zakładach przemysłowych</i>			
Maszyny i turbiny parowe	KM 15591593	17037973	16695493
Motory spalinowe	KM 991905	1259400	1230302
Koła i turbiny wodne	KM 1826443	1765263	1802805
<i>Energja nabywana z zewnątrz</i>			
Silniki elektryczne	KM 3897248	9347556	1336556
Inne silniki	KM 129883	94600	—
Razem			
Zużycie energii	KM 22437072	29504792	33094228
Ilość robotników	KM 7036247	9096372	8778950
Na jednego robotnika	KM 3,19	3,24	3,77

(Power, 1926)

4. PRODUKCJA ENERGJI ELEKTRYCZNEJ W NIEKTÓRYCH KRAJACH (w kWh).

Kraj	R o k			
	1913	1914	1924	1925
Szwecja	1.449.000.000		3.481.000.000	
Włochy		2.400.000.000		7.600.000.000

(Power, 1926)

5. POLSKI KOMITET ENERGETYCZNY.

Na podstawie art. 18 dekretu Rady Regencyjnej z dnia 3 stycznia 1918 r. (Dz. Pr. Nr. 1, poz. 1), zarządza się co następuje:

§ 1. Przy Ministerstwie Robót Publicznych tworzy się Polski Komitet Energetyczny.

§ 2. Do zadań Komitetu należy:

1) udział w pracach Światowej Konferencji Energetycznej i jej Międzynarodowej Rady Wykonawczej, ewentualnie innych komitetów pochodnych, jako też dążenie do przeprowadzenia na obszarze Polski uchwał tych organizacji;

2) wydawanie opinii w sprawach, związanych z wytwarzaniem, przesyłaniem i zastosowaniem energii pod wszelką jej postać, tak z własnej inicjatywy, jak i na żądanie zainteresowanych Ministerstw, przedsiębiorstw państwowych, oraz organów samorządowych;

3) współdziałanie:

a) w popieraniu działalności, zmierzającej do racjonalizacji gospodarki energetycznej;

b) w popieraniu i gromadzeniu prac i wydawnictw naukowych w zakresie gospodarki energetycznej, oraz międzynarodowej wymianie takich wydawnictw;

c) w zbieraniu danych w celu ustalania bilansu energetycznego Państwa;

d) w rozpowszechnianiu wiadomości o zasadach racjonalnej gospodarki energetycznej i drogach do jej osiągnięcia.

Komitelowi Energetycznemu mogą też być przekazywane do rozpoznania inne sprawy, mające związek z za-

daniemi wyżej wyszczególnionemi, o ile zainteresowane Ministerstwa uznają za pożądane skorzystać z opinii Komitetu.

§ 3. Zainteresowane Ministerstwa, oraz przedsiębiorstwa państwowe i samorządowe popierają prace Polskiego Komitetu Energetycznego przez udzielanie mu w miarę możliwości materiałów, wchodzących w zakres gospodarki energetycznej, a to w celu umożliwienia mu ujęcia całokształtu tej gospodarki w kraju.

§ 4. W skład Polskiego Komitetu Energetycznego wchodzi:

1) przewodniczący oraz jego zastępcę, powołani przez Ministra Robót Publicznych z pośród działaczy na polu technicznym lub przemysłowym;

2) 12 przedstawicieli rządu, delegowanych przez Ministrów, a mianowicie: 4 przedstawicieli Ministerstwa Robót Publicznych — z zakresów: hydrografii, dróg wodnych i wod niespławnych, elektryfikacji, oraz dróg lądowych; 3 przedstawicieli Ministerstwa Przemysłu i Handlu — z zakresów: węglowego, naftowego i przemysłu przetwórczego; 2 przedstawicieli Ministerstwa Kolei, oraz po jednym przedstawicielu Ministerstwa Spraw Wewnętrznych, Ministerstwa Rolnictwa i Dóbr Państwowych i Ministerstwa Spraw Wojskowych;

3) 12 przedstawicieli producentów i odbiorców energii, organizacji zawodowych i instytucji naukowych, jak np. wyższe szkoły techniczne, Państwowy Instytut Geologiczny, jak również związków samorządowych, których to przedstawicieli delegować będą instytucje i organizacje, wskazane przez Ministra Robót Publicznych.

Nadto w posiedzeniach Polskiego Komitetu Energetycznego mogą — w razie potrzeby — brać udział z głosem doradczym osoby, zaproszone przez Ministra Robót Publicznych lub przewodniczącego Komitetu.

§ 5. Posiedzenia Komitetu zwołuje przewodniczący z własnej inicjatywy lub na wniosek jednego z Ministerstw, albo też na żądanie, zgłoszone do Ministerstwa Robót Publicznych przynajmniej przez $\frac{1}{3}$ członków Komitetu. Komitet może powziąć ważne uchwały, jeżeli w posiedzeniu bierze udział co najmniej połowa członków. Uchwały Komitetu zapadają zwykłą większością głosów; w razie równości głosów, rozstrzyga głos przewodniczącego. W protokole umieszcza się opinie, zarówno większości, jak i mniejszości Komitetu.

Dla spraw specjalnych może Komitet wyłaniać z pośród siebie Komisje pod przewodnictwem członków Komitetu, z prawem kooptacji współpracowników z poza jego grona. Komisje przedstawiają swoje wnioski Polskiemu Komitetowi Energetycznemu do zatwierdzenia.

Protokoły posiedzeń, oraz czynności biurowe, związane z pracami Komitetu, prowadzi Ministerstwo Robót Publicznych przez swych funkcjonariuszów.

§ 6. Wykonanie niniejszego rozporządzenia powierza się Ministrowi Robót Publicznych.

§ 7. Bliższe postanowienia o sposobie urzędowania Polskiego Komitetu Energetycznego określi regulamin, uchwalony przez Komitet. Regulamin wymaga zatwierdzenia przez Ministra Robót Publicznych.

§ 8. Rozporządzenie niniejsze wchodzi w życie z dniem ogłoszenia.

Prezes Rady Ministrów (—) *K. Bartel*.

Minister Robót Publicznych (—) *W. Broniewski*.

KOMUNIKATY STOW. DOZ. KOTŁÓW W WARSZAWIE.

1. W SPRAWIE CERTYFIKATÓW DLA KOTŁÓW PAROWYCH.

Wobec często powtarzających się zapytań, zawiadamia podpisane Stowarzyszenie, że certyfikaty dla kotłów parowych, wydane na podstawie ustawy austriackiej przed dniem 8 listopada 1921, zachowując swą moc prawną, mają być, w myśl obecnie odowiadujących przepisów, zamienione na księgę rewizji kotła. Koszt zamiany wynosi zł. 5.—

Wszelkie certyfikaty dla kotłów parowych, wystawione po dniu 8 listopada 1921 r. nie mają mocy prawnej, zatem dla kotłów posiadających tego rodzaju certyfikaty, jak i dla tych kotłów, które nie mają żadnych dokumentów, należy wnieść do terytorjalnego Województwa podanie o pozwolenie na ustawienie kotła, dołączając w trzech egzemplarzach: rysunek kotła (ewentualnie z obmurowaniem) w skali 1:20, opis kotła, plan kotłowni w skali 1:100 i plan sytuacyjny w skali 1:1000.

Rysunki i opisy kotła winna wykonać i stwierdzić podpisem fabryka wytwórcza, a tylko w tych wypadkach, gdzie uzyskanie rysunków fabrycznych jest niemożliwe, można je sporządzić na podstawie pomiarów zdjętych z natury.

Na wyraźne żądanie Członków, Biura Okręgowego Stowarzyszenia, których adresy podajemy poniżej, podejmują się wykonania rysunków, pobierając następujące opłaty:

- | | |
|--|----------|
| za sporządzenie 3 rysunków kotła lokomobilowego i 3 opisów | zł. 60.— |
| za sporządzenie 3 rysunków kotła gorzelanego z obmurowaniem i 3 opisów „ | 100.— |

za wykonanie 3 planów kotłowni i rysunków sytuacyjnych. zł. 60.—
w czym jest objęta należność za podklejenie jednego rysunku płótnem i opłaty stemplowe.

Sporządzone przez Biuro Okręgowe rysunki i opisy kotła, właściciel przedstawia do Wydziału Przemysłowego właściwego Województwa w celu wyrobienia koncesji, po otrzymaniu której Stowarzyszenie Dozoru Kotłów dokonywa odbioru technicznego kotła i wydaje właścicielowi książkę kotłową wraz z wszytym kompletem rysunków i opisów.

Oilę zdjęcie pomiarów z natury nie może być połączone z wyjazdem dla celów rewizji kotła i wymaga specjalnego przyjazdu, do powyższej opłaty dolicza się rzeczywiste koszty podróży i diety.

Adresy Biur Okręgowych:

w Warszawie, ul. Nowy-Swiat № 34.
w Dąbrowie Górniczej, ul. Sienkiewicza № 7,
w Krakowie, ul. Karmelicka № 45,
we Lwowie, ul. 29 Listopada № 14,
w Łodzi, ul. Piotrkowska № 199.

Stowarzyszenie Dozoru Kotłów
w Warszawie.

2. ZMIANA ADRESU BIURA REJONOWEGO W KIELCACH.

Biuro Rejonowe Stowarzyszenia w Kielcach, które posiadało dotychczas skrynkę pocztową Nr 90-A, zmieniło ją obecnie na *skrynkę pocztową Nr 158*.

KURSY DLA PALACZÓW KOTŁOWYCH.

1. KURSY W LUBLINIE OD 4 DO 16 PAŹDZ. 1926 R.

Stowarzyszenie dozoru Kotłów w Warszawie zorganizowało w październiku r.ub. dwutygodniowe wykłady dla palaczy w Lublinie, na które zgłosiło się 33 słuchaczy. Wykłady rozpoczęte w dn. 4.X r.ub., odbywały się codziennie od 5-ej do 7-ej wieczorem w Państwowej Szkole Rzemieślniczej w Lublinie do dn. 16.X włącznie, poczem w dn. 17.X r.ub. przystąpiono do egzaminów, które odbyły się w kotłowni młyna parowego „Piaski” w Lublinie.

Wykłady ilustrowane przezroczami uzupełni ono zajęciami praktycznymi i zapoznaniem słuchaczy z różnemi urządzeniami kotłów w kotłowniach cukrowni Lublin, Gazowni Miejskiej i młyna parowego „Piaski” w Lublinie.

Do egzaminów stawili się wszyscy słuchacze: jednego zakwalifikowano do powtórnego egzaminu, pozostali zdali egzaminy.

Z wynikiem bardzo dobrym:

- 1) Jednas Józef, 2) Polski Józef, 3) Podraszka Antoni, 4) Wcześniak Franciszek.

Z wynikiem dobrym:

- 1) Boguszewski Stanisław, 2) Czerwiński Wincenty, 3) Czubak Antoni, 4) Grzeszczak Benjamin, 5) Łazarz Paweł, 6) Mankiewicz Kasimierz, 7) Pazdzior Antoni, 8) Plak Józef, 9) Skowronek Władysław, 10) Woch Aleksander, 11) Wysocki Władysław, 12) Płaksy Michał, 13) Froncki Stanisław.

Z wynikiem dostatecznym:

- 1) Błaszczak Mateusz, 2) Bryzek Władysław, 3) Cichacz Władysław, 4) Gieroba Stanisław, 5) Kozłowski Baltazar, 6) Krawiec Franciszek, 7) Kuchta Franciszek, 8) Kula Józef, 9) Łucka Szczepan, 10) Łuszczynski Konstanty, 11) Pietras Józef, 12) Sztora Antoni, 13) Zieliński Władysław, 14) Paprota Antoni, 15) Mendrzyk Władysław.

SPÓŁKA AKCYJNA FABRYK METALOWYCH POD FIRMĄ

NORBLIN, B-CIA BUCH I T. WERNER

Zarząd w Warszawie, ulica Żelazna № 51.

Telefony: 18-60, 60-80, 63 01, 63-71, 63-80, 160-14, 220-33 i 518-10

Oddział w Głownie; Walcownia miedzi i mosiądzu „Głowno”, st. Głowno koło Łowicza wykonywa na zamówienie:

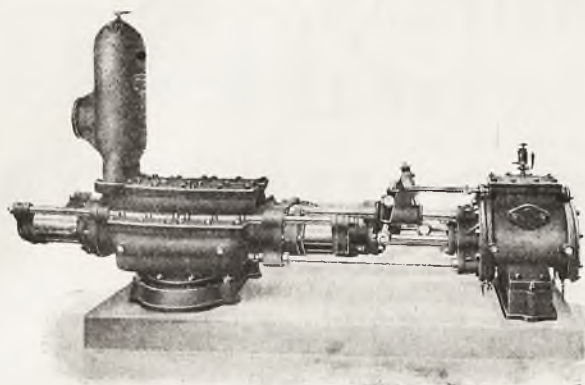
Blachę handlową, miedzianą i mosiężną, jak również blachę paleniskową do kotłów parowych.
Druty miedziane i mosiężne — i krzemobronzowe do telegrafów i tramwajowe „Trolley”.
Rury miedziane i mosiężne ciągnione, bez szwu systemu Manesmana.
Pręty i szyny miedziane i mosiężne.
Kable-Linki miedziane gołe.

Poleca gotowe na składzie:

Platery: Sztuciec na białym metalu, grubo srebrzony, gładki i stylowy.
Galanterje: kosze, etażery, cukiernice, lichtarze i t. p.

URZĄDZENIA dla RESTAURACJI i HOTELI.

PRZEDMIOTY KOŚCIELNE.



ZAKŁADY MECHANICZNE I ODLEWNIA
ROHN, ZIELIŃSKI i S-ka

Sp. Akc.

WARSZAWA, JEROZOLIMSKA 105,

Telefon 5-88 i 58-83.

POMPY

do zasilania kotłów parowe,
 s. Worthingtona, transmisyjne,
 odśrodkowe.

136—1

Zapraszamy do współpracy

Niejednokrotnie odbieramy listy od naszych czytelników interesujących się pewnymi artykułami lub urządzeniami o których w ogłoszeniach Techniki Ciepłej nie znajdują wzmianki.

Aby dział ogłoszeniowy naszego pisma uczynić możliwie pożytecznym staramy się zamieszczać takie jedynie ogłoszenia, których treść interesować naszych czytelników powinna.

Rozwój jednak techniki zachodzi w naszych czasach z taką zawrotną szybkością, że nieraz trudno sprostać wszelkim wymaganiom.

Wobec tego prosimy naszych czytelników o współpracę, która polegać może na komunikowaniu nam tematów i urządzeń jakie ich w danej chwili interesują. Z naszej strony postaramy się by odpowiednie ogłoszenia ukazywały się w naszym piśmie.

Za współpracę dziękujemy z góry.

POLSKIE TOWARZYSTWO ZAKŁADÓW SKODY

SP. Z OGR.
 ODP.

ODLEWY: szare do 110.000 kg wagi w 1 szt., aluminiowe, bronz. do 5.000 kg wagi w 1 szt. stalowe do 95.000 kg wagi w 1 sztuce.

WYROBY KUTE: wały i t. p. do 90.000 kg. wagi w 1 szt.

BUDOWA. rusztów syst. prof. Łomschakowa do spalania lignitu, miału i pyłu węgla. Kotłów wszelkiego rodzaju do największych ciśnień i wydajności. Turbin parowych normalnych, ekonomicznych wysokiego ciśnienia z odbiorem pary. Kompresorów amoniakalnych największych wydajności. Generatorów lodu, tubogeneratorów i t. p. Akumulatorów parowych systemu „Ruths”. Generatorów gazowych, dwugazowych, rudnowęglanych pieców do wyrobu gazów olejowych.

KOMPLETNE URZĄDZENIA: Opalania kotłów gazem z wysokich pieców, gazowni, gazowni olejowych, stacji transportowych, automatycznego wsypywania węgla, elektrowni, chłodni, hut, kopalń, rafinerji i t. p.

WARSZAWA, KRÓLEWSKA 10.

TELEFON 10-44.

138—S

WODA DESTYLOWANA

DO
ZASILANIA KOTŁÓW PAROWYCH
podług systemu

PRACHE & BOUILLON

żądajcie naszych referencji

Société Générale d'Evaporation,
25, rue de la Pépinière Paris.
Teleph: Louvre 17-80, inter. 1043.
Teleg. Praebou-Paris.

Przedstawiciel: Inż. Wacław Kossowski
Warszawa, Piękna 4, m. 7.
Tel. 233-12.

125-2

RURY FALISTE

Stanowią nieodzowny element przy budowie przewodów parowych na wysokie ciśnienie przy przegrzanej parze,

Wszelkiego rodzaju wyroby (zbiorniki rury fasonowe, kominy i t. p. z blachy żelaznej spawane acetylenem.

Projekty przewodów wszelkiego rodzaju sporządza

Fabryka Przewodów Rurowych. Maciejewski i S-ka „COMPENSATOR”
Warszawa, ul. Przemysłowa 32, Tel.: 18-72 Telegr. Compensator Warszawa.

111-9

SPECJALNA FABRYKA HAMULCÓW KOLEJOWYCH

INŻ. STANISŁAW NEHRING, PAWEŁ JASIŃSKI i S-ka

Lubrykatory, prasy smarownicze i zawory redukcyjne firmy ALEX. FRIEDMANN w Wiedniu.

Warszawa, Płocka Nr. 44.

Adres do listów: Szopena Nr. 17.

Adres telegraf.: Westnehring.

Telefony 105-91, 186-93, 191-71.

122-1

BIURO TECHNICZNO-HANDLOWE

HIERONIM STEIN

Warszawa, Senatorska 21, telefon 135-56

poleca:

Szczeliwa „Mamut” wosk grafitowane, na najwyższe ciśnienie pary w płytach, owalach i wszelkich fasonach.

Szczeliwa czysto azbestowe: plecione, przettuszczone i grafitowane, na wysokie ciśnienie pary i przegrzanie.

Zawory stalowe i zasuwki na wysokie ciśnienie.

Garnki kondensacyjne.

130-1

ADMINISTRACJA TECHNIKI CIEPLNEJ

W Warszawie, ul. Fredry 2 m. 1.

poleca roczniki pisma z lat ubiegłych,
a mianowicie:

Technika Ciepła, rocznik 1924 r. zł. 12

Technika Ciepła, rocznik 1925 r. zł. 12

Technika Ciepła, rocznik 1926 r. zł. 12